

1 Лабораторная работа №1. Сравнительный анализ решения нелинейных алгебраических уравнений пятью методами

Исследуются корни нелинейных уравнений $f_\alpha(x) = 0$ в зависимости от значений параметра $\alpha = 1, 2, 3$. Порядок выполнения задания для каждого **фиксированного значения α** :

1. Используя доступные методы построить график функции $y = f_\alpha(x)$ (на бумаге или с помощью доступных программ-графопостроителей) и локализовать ВСЕ корни нелинейного уравнения. В результате будут получены отрезки локализации корней $[a_r^\alpha, b_r^\alpha]$, $r = 1, 2 \dots R$, здесь R — количество корней уравнения. Если корней бесконечно-много, требуется найти *три корня, наименьших по модулю*. В отчете представить скриншот графика функции (или несколько скриншотов, если корни не поместились на одном графике).
2. На каждом отрезке $[a_r^\alpha, b_r^\alpha]$ аналитически исследовать функции $f_\alpha(x)$: определить знаки функций в концах отрезков $f_\alpha(a_r^\alpha)$, $f_\alpha(b_r^\alpha)$; знаки первых и вторых производных $f'_\alpha(x)$, $f''_\alpha(x)$ на отрезках локализации. На каждом из отрезков построить эквивалентные функции $\varphi_{\alpha,(r)}(x)$. Для каждого из отрезков $[a_r^\alpha, b_r^\alpha]$ вычислить константы: $M_{(r)}^\alpha \geq \max_{x \in [a_r^\alpha, b_r^\alpha]} |f'_\alpha(x)|$, $0 < m_{(r)}^\alpha \leq \min_{x \in [a_r^\alpha, b_r^\alpha]} |f'_\alpha(x)|$, $1 > q_{(r)}^\alpha \geq \max_{x \in [a_r^\alpha, b_r^\alpha]} |\varphi'_{\alpha,(r)}(x)|$.
3. С помощью программы на языке Си для каждого из отрезков $[a_r^\alpha, b_r^\alpha]$ вычислить уточненные значения корней $\xi_r^* = x_{N+1}$ с точностью $\varepsilon = 10^{-4}$: $|\xi_r^* - \xi_r| < \varepsilon$. Использовать пять методов: половинного деления, секущих, простой итерации, Эткина, Ньютона. Начальные значения $x_0^{(r)}$ следует выбирать одинаковыми для всех методов: $x_0^{(r)} = a_r^\alpha$ или $x_0^{(r)} = b_r^\alpha$.
4. Сравнить методы по их способности приближенно вычислить корень ξ и по скорости сходимости к корню (т. е. число итераций). В отчете представить таблицу, в которой также указать значения невязки $f_\alpha(\xi^*)$ и параметров $M_{(r)}^\alpha$, $m_{(r)}^\alpha$, $q_{(r)}^\alpha$:

Корень ξ_r^*	Невязка $f_\alpha(\xi_r^*)$	Отрезок $[a_r^\alpha, b_r^\alpha]$	$x_0^{(r)}$	Число итераций $N + 1$					$M_{(r)}^\alpha$	$m_{(r)}^\alpha$	$q_{(r)}^\alpha$
				Метод деления	Метод хорд	Простая итерация	Метод Эткина	Метод Ньютона			
...

1	$ x(x - \alpha) = \alpha \ln x$	2	$ x^2 - \alpha = e^{\alpha x }$	3	$ x^2 - 2\alpha/x = e^{1-x^2}$
4	$\sqrt{(x - \alpha/2)(x - \alpha)} = \sin x$	5	$ x - \alpha = \sin x + \sin x $	6	$x^4 \sin(x/\alpha) = 1$
7	$\alpha \sin \sqrt{1 + 2 \sin x} = x^3$	8	$(1 + \sin x) \sin x = \alpha + 3x - 5$	9	$\cos e^{ \sin x } = \alpha x$
10	$\operatorname{ch}\left(\frac{1}{\alpha} + \frac{1}{1 + \cos^2 x}\right) = \alpha e^x$	11	$\cos \frac{1}{1 + (1 - e^{- x })^2} = \alpha - x$	12	$\sin \frac{1}{1 + (\operatorname{arctg} e^{-x^2})^2} = \alpha - x$

13	$e^{-\sin^2 \frac{1}{1+x^2}} = -\operatorname{tg}(x/\alpha)$	14	$\ln(1 + \cos^2 x) = \alpha e^{-x}$	15	$x + e^{-\frac{1}{1+x^2}} = \alpha - 5$
16	$\ln \sqrt{1+x^2} = -\operatorname{ctg}(x/\alpha)$	17	$1 + e^{-2x^2} = \alpha^2 e^{-2x}$	18	$\alpha^2 e^{2x} = 1 + \ln^2 \sqrt{1+x^2}$
19	$\sin^2 \ln \sqrt{1 + (1 - e^{- x })^2} = -\alpha \ln x$	20	$(x^2 - 1)^2 = x^\alpha$	21	$\frac{\pi^2 x - x^3 + x^5}{= 0.1\alpha^2 \cos x}$
22	$\frac{10x - 0.5x^3 + x^5}{= 0.04\alpha^3 e^{-x^2}}$	23	$x + x^3 + x^7 + x^9 = 0.3\alpha \operatorname{th} x$	24	$\frac{5x^2 - 0.1x^3 + 0.2x^4}{= 0.1(\alpha + \operatorname{th} x)}$
25	$\sum_{k=0}^3 \frac{(\pi - k)^2}{k!} x^{2k+1} = 0.1\alpha^2$	26	$\sum_{k=0}^2 (-e)^k x^{4k+1} = 0.07\alpha + 0.3x$	27	$\sum_{k=0}^2 \frac{k - 1.9929}{k - 0.99929} x^k = x^5 \sqrt{0.1\alpha - \alpha \ln \alpha}$
28	$\sum_{k=0}^2 \frac{e^k}{k!} x^{4k+1} = 0.098\alpha$	29	$\sum_{k=0}^2 \left(1 - \frac{3k}{\sqrt{2}} + k^2\right) \times x^{3k+1} = 0.1\alpha$	30	$\sum_{k=1}^3 \operatorname{tg}^2 \left(\frac{k^2}{2} - 2.0537\right) \times x^{k^2} = \sqrt[4]{0.1\alpha}$
31	$\sum_{k=1}^4 \frac{(\pi - k)^2}{k!} x^{2k} = 1 + 0.859\alpha x$	32	$\sum_{k=0}^2 \frac{(-2)^k}{2k+1} x^{4k+2} = 1.41 + 0.1\alpha^2 x$	33	$\sum_{k=0}^2 \frac{e^k}{2k+1} x^{2(2k+1)} = 1 + 0.096\alpha^3 x$
34	$\sum_{k=1}^4 \left(\left(\frac{k}{100} - 1\right)x\right)^k = -0.101\alpha$	35	$\sum_{k=0}^2 \frac{k^2 - 2.14k + 1}{k + 0.667} \times x^{3k+2} = 1 + x/\alpha$	36	$\sum_{k=0}^2 \frac{6k - 11.9937}{k^2 - 3k10^{-3} - 0.9931} \times x^k = 1/x + x^5/\sqrt{\alpha}$

2 Лабораторная работа №2. Сравнительный анализ решения нелинейных САУ тремя методами

Исследуются пары корней системы нелинейных уравнений $f(x, y) = 0$, $g(x, y) = 0$. Порядок выполнения задания:

1. Построить на плоскости Oxy графики неявных функций $f(x, y) = 0$, $g(x, y) = 0$ (на бумаге или с помощью доступных программ-графопостроителей) и приближенно определить все точки пересечения графиков. В результате будут получены прямоугольники (сегменты) локализации пар корней $\vec{\xi}_r \equiv (\xi_r, \eta_r) \in \Omega_r \equiv [ax_r, bx_r] \times [ay_r, by_r]$, $r = 1, 2, \dots, R$, здесь R — количество пар корней системы уравнений. В отчете представить скриншот всех пересечений графиков функций (или несколько скриншотов, если точки пересечений не поместились на одном графике).
2. На каждом сегменте Ω_r определить константы q_r, μ_r : $1 > q_r \geq \max_{\vec{x} \in \Omega_r} \|\mathcal{D}_{\vec{f}}(\vec{x})\|$, $\mu_r \geq \max_{\vec{x} \in \Omega_r} \|\mathcal{D}_{\vec{f}}(\vec{x})\| \max_{\vec{x} \in \Omega_r} \|\mathcal{D}_{\vec{f}}^{-1}(\vec{x})\|$.
3. С помощью программы на языке Си для каждого из сегментов Ω_r вычислить уточненные значения пар корней $\vec{\xi}_r^* \equiv (\xi_r^*, \eta_r^*) = (x_{N+1}, y_{N+1})$ с точностью $\varepsilon = 10^{-4}$: $\|\vec{\xi}_r^* - \vec{\xi}_r\| < \varepsilon$. Использовать три метода: простой итерации, Зейделя, Ньютона. Начальные значения $x_0^{(r)}, y_0^{(r)}$ следует выбирать одинаковыми для всех методов: $(x_0^{(r)}, y_0^{(r)}) \in \Omega_r$.

4. Сравнить методы по их способности приближенно вычислить пары корней $\vec{\xi}_r$ и по скорости сходимости к корню (т. е. по числу итераций). В отчете представить таблицу, в которой также указать значения нормы невязки $\|\vec{f}_\alpha(\vec{\xi}_r^*)\|$ и параметров q_r , μ_r :

Пара корней $\vec{\xi}_r^*$		Норма невязки $\ \vec{f}(\vec{\xi}_r^*)\ $	Начальный вектор		Число итераций $N + 1$			q_r	μ_r
ξ_r^*	η_r^*		$x_0^{(r)}$	$y_0^{(r)}$	Простая итерация	Метод Зейделя	Метод Ньютона		
...

1	$\begin{cases} \sin(x+1) - y = 1, \\ 2x + \cos y = 2; \end{cases}$	2	$\begin{cases} x^{2/3} + y^{2/3} = 4, \quad (x > 0) \\ x^2 - 2y = 0, \end{cases}$	3	$\begin{cases} \operatorname{tg}(xy + 0.2) = x^2, \\ x^2 + 2y^2 = 1; \end{cases}$
4	$\begin{cases} \sqrt{x+1} - y = 0, \\ x^2 + 2y^2 = 2y; \end{cases} \quad (x > 0)$	5	$\begin{cases} 2x + \operatorname{tg}(xy) = 0, \\ (y^2 - 6)^2 + \ln x = 0; \end{cases}$	6	$\begin{cases} x \cos x - y = 0, \\ x^2 + y^2 - 1 = 0; \end{cases} \quad (x > 0)$
7	$\begin{cases} y \cos y - x = 0, \\ x^2 + y^2 - 1 = 0; \end{cases} \quad (y < 0)$	8	$\begin{cases} 2x^2 + y^2 = 1, \\ x^{2/3} - y = 0; \end{cases} \quad (y > 0)$	9	$\begin{cases} 0.6x + 7.5y + x^2y = 0, \\ 6x + \cos y = 0; \end{cases}$
10	$\begin{cases} x^2 + 2y^2 = 1, \\ x + y^{2/3} = 0; \end{cases} \quad (y < 0)$	11	$\begin{cases} \sin(x + 0.8) + 2y = 1, \\ \cos(y + 0.6) + 0.6x = 0; \end{cases}$	12	$\begin{cases} \sin x - y = 0, \\ x^2 + y^2 = 1; \end{cases} \quad (x > 0)$
13	$\begin{cases} x - \cos y = 0, \\ x^2 + y^2 = 2; \end{cases} \quad (y > 0)$	14	$\begin{cases} x^2 + y^2 = 2y, \\ e^{-x} - y = 0; \end{cases} \quad (x < 0)$	15	$\begin{cases} x^2 + y^2 = 2x, \\ x - e^{-y} = 0; \end{cases} \quad (y > 0)$
16	$\begin{cases} x^{2/3} + y^{2/3} = 4, \\ 2x - y^2 = 0, \end{cases} \quad (y < 0)$	17	$\begin{cases} 2x - x^2 - y^2 + 2y = 1, \\ \sqrt{x+1} = y, \end{cases} \quad (x > 0);$	18	$\begin{cases} x^2 + y^2 = 2x, \\ \ln x - y = 0; \end{cases} \quad (y > 0)$
19	$\begin{cases} 2x + x^2 + y^2 + 2y = -1, \\ \sqrt{x+1} = y + 1; \end{cases}$	20	$\begin{cases} x^{2/3} + y^{2/3} = 1, \\ x^2 + y^2 = 2x, \end{cases} \quad (y > 0)$	21	$\begin{cases} x \sin x = y, \\ x^2 + y^2 = 1, \end{cases} \quad (x > 0)$
22	$\begin{cases} \operatorname{tg} x - \cos(1.5y) = 0, \\ 2y^2 - x^2 + 4x = 3; \end{cases}$	23	$\begin{cases} x/(1+x^2) = y, \\ x^2 + y^2 = 1, \end{cases} \quad (x > 0)$	24	$\begin{cases} x^{2/3} + y^{2/3} = 1, \\ x^2 + y^2 = 2y, \end{cases} \quad (x < 0)$
25	$\begin{cases} x = y \sin y, \\ x^2 + y^2 = 1, \end{cases} \quad (y < 0)$	26	$\begin{cases} x^2 + y^2 = 2y, \\ 1/2 \ln(x+1) = y, \end{cases} \quad (x > 0)$	27	$\begin{cases} y/(1+y^2) = x, \\ x^2 + y^2 = 1, \end{cases} \quad (y < 0)$
28	$\begin{cases} x^2 + y^2 = 2x, \\ x = 2 \ln(y+1), \end{cases} \quad (y > 0)$	29	$\begin{cases} x^2 + y^2 = 1, \\ 2xe^{-x} = y, \end{cases} \quad (x > 0)$	30	$\begin{cases} (x^2 + y^2)^2 = 2(x^2 - y^2) \\ x^2 + y = 1, (x > 0, y > 0) \end{cases}$
31	$\begin{cases} x = 2ye^{-y} \\ x^2 + y^2 = 1, \end{cases} \quad (y < 0)$	32	$\begin{cases} (x^2 + y^2)^2 = 2(x^2 - y^2) \\ x + y^2 = 1, (x > 0, y < 0) \end{cases}$	33	$\begin{cases} \sin(x+y) - 1.5x = 0.1, \\ x^2 + y^2 = 1; \end{cases}$

Рекомендуемая литература

- [1] Дьяченко В. Ф. Основные понятия вычислительной математики. — М.: Наука, 1972.
- [2] Крылов В. И., Бобков В. В., Монастырский П. И. Вычислительные методы. Т.1,2. — М.: НАУКА, 1976.
- [3] Формалев В. Ф., Ревизников Д. Л. Численные методы. — М.: ФИЗМАТЛИТ, 2004.

3 Основные принципы численных алгоритмов на примере задачи извлечения квадратного корня из положительного числа

Выше мы убедились, что даже простейшие динамические модели описываются СОДУ, точный математический анализ которых весьма затруднителен. Получить *приближенное* решение можно например методом *линеаризации*. Численные методы являются более общим подходом к приближенному решению задач.

3.1 Постановка задачи

Пусть для фиксированного $a > 0$ требуется найти приближённое значение \sqrt{a} . Вычисление квадратного корня можно трактовать как решение нелинейного уравнения $x^2 - a = 0$, которое является частным случаем более общей задачи поиска нулей ξ функции $f(x)$: $f(\xi) = 0$ (для нашей задачи $\xi = \sqrt{a}$). Предлагается заменить задачу вычисления нулей функции $f(x)$ на эквивалентную ей задачу отыскания *стационарных точек* некой вспомогательной функции $\varphi(x)$, т.е. ищем $\xi \in [\alpha, \beta]$ что $\varphi(\xi) = \xi \Leftrightarrow f(\xi) = 0$. Далее, задачу о поиске стационарной точки решаем приближенно, построив *итерационную* (или *рекуррентную*) последовательность вида

$$\{x_n\} : x_0 \rightarrow x_n = \varphi(x_{n-1}). \text{ Известно, что } \exists \lim_{n \rightarrow \infty} x_n = \xi \Leftrightarrow \exists \lim_{n \rightarrow \infty} \varphi(x_n) = \xi. \quad (\text{I.1})$$

Сначала рассмотрим примеры неудачного выбора функции φ . Если положить $\varphi(x) = ax^{-1}$, то как легко видеть, \sqrt{a} является стационарной точкой функции $\varphi(x)$, однако если в качестве *начального приближения* взять произвольное $x_0 \neq \sqrt{a}$, то очевидно получим расходящуюся последовательность $\{x_n\}$: $x_1 = \varphi(x_0) = ax_0^{-1} \neq \sqrt{a}$, $x_2 = \varphi(x_1) = \varphi(ax_0^{-1}) = x_0$, $x_3 = ax_0^{-1}$, $x_4 = x_0$ и т.д. Интересно отметить, что последовательность $\{x_n\}$ остается «мигающей» при сколь угодно малой разности между x_0 и \sqrt{a} . Другой антипример даёт функция $\varphi(x) = 2x - ax^{-1}$ (и в этом случае $\varphi(\sqrt{a}) = \sqrt{a}$). Эта функция монотонно возрастает на промежутках непрерывности, т.к. $\varphi'(x) = 2 + ax^{-2} > 2$, $\forall x \neq 0$. Взяв начальное значение $x_0 > \sqrt{a}$, получим

$$\begin{aligned} x_1 &= \varphi(x_0) > \varphi(\sqrt{a}) = \sqrt{a} \Leftrightarrow x_1 > \sqrt{a} \Rightarrow \\ x_2 &= \varphi(x_1) > \varphi(\sqrt{a}) = \sqrt{a} \Leftrightarrow x_2 > \sqrt{a} \Rightarrow \\ &\dots \\ x_n &= \varphi(x_{n-1}) > \varphi(\sqrt{a}) = \sqrt{a} \Leftrightarrow x_n > \sqrt{a}, \quad \forall n \in \mathbb{N}. \end{aligned}$$

Из доказанного неравенства $x_n > \sqrt{a}$, $\forall n = 0, 1, 2 \dots$ и формулы Лагранжа:

$$\begin{aligned} x_n - \sqrt{a} &= \varphi(x_{n-1}) - \varphi(\sqrt{a}) \geq \min|\varphi'(x)|(x_{n-1} - \sqrt{a}) > \\ &> 2(x_{n-1} - \sqrt{a}) > \dots > 2^n(x_0 - \sqrt{a}), \end{aligned}$$

т. е. $\lim_{n \rightarrow \infty} x_n = +\infty$. Последовательность $\{x_n\}$ как и в первом антипримере расходится всегда, если только $x_0 \neq \sqrt{a}$. Такие алгоритмы называются *неустойчивыми*. Теперь покажем, что сходящуюся последовательность можно получить из функции

$$\varphi(x) = \frac{1}{2} \left(x + \frac{a}{x} \right). \quad (1.2)$$

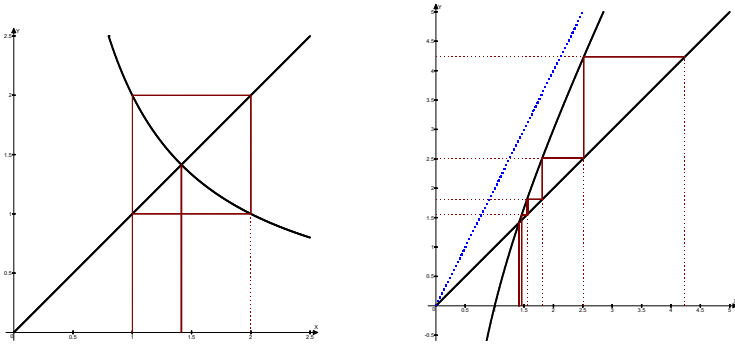


Рис. 1.1. Два неустойчивых алгоритма

Естественным условием применения (1.1) является требование ограниченности числа итераций, т. е. должен существовать такой параметр N , что $n \leq N$. Значение N либо изначально фиксируют, либо счёт останавливают при достижении фиксированной точности ε : $|x_N - \sqrt{a}| < \varepsilon$. Применение второго условия требует дополнительного исследования свойств функции $\varphi(x)$, поскольку величина \sqrt{a} нам неизвестна.

Итак, для исследования сформулирован следующий алгоритм:

$$x_0 > 0, \quad x_n = \varphi(x_{n-1}), \quad \varphi(x) = \frac{1}{2} \left(x + \frac{a}{x} \right), \quad n \leq N : \quad |x_N - \xi| < \varepsilon. \quad (1.3)$$

3.2 Обоснование численного алгоритма (1.3)

Для определённости положим $a > 1$. По теореме о среднем арифметическом и геометрическом, получаем: $x_{n+1} = \frac{1}{2} \left(x_n + \frac{a}{x_n} \right) \geq \sqrt{x_n \cdot \frac{a}{x_n}} = \sqrt{a}$, причём равенство возможно только если $x_n = a x_n^{-1} \Leftrightarrow x_n = \sqrt{a}$. Таким образом показано, что $x_n > \sqrt{a} > 1, \forall n = 1, 2, \dots$ независимо от начального положительного приближения x_0 . Поэтому не нарушая общности можно считать, что $x_n > \sqrt{a} > 1, \forall n = 0, 1, 2, \dots$

Очевидно, что $\varphi(\sqrt{a}) = \sqrt{a}$, т. е. \sqrt{a} действительно является стационарной точкой для $\varphi(x)$. Далее, для доказательства сходимости последовательности $\{x_n\}$ рассмотрим последовательность *относительных ошибок* $\{\delta_n\}$, заданную формулой

$$\frac{x_n}{\sqrt{a}} = 1 + \delta_n, \quad \delta_n > 0, \quad \forall n = 0, 1, 2, \dots \quad (1.4)$$

Разделим $x_n = \varphi(x_{n-1})$ на \sqrt{a} и преобразуем (при этом учтем очевидное двойное неравенство $0 < \delta_{n-1}/(1 + \delta_{n-1}) < 1$ при $\delta_{n-1} > 0$):

$$\begin{aligned}
\frac{x_n}{\sqrt{a}} &= \frac{1}{2} \left(\frac{x_{n-1}}{\sqrt{a}} + \frac{1}{\frac{x_{n-1}}{\sqrt{a}}} \right) \Leftrightarrow 1 + \delta_n = \frac{1}{2} \left(1 + \delta_{n-1} + \frac{1}{1 + \delta_{n-1}} \right) \Leftrightarrow \\
\delta_n &= \frac{1}{2} \left(\delta_{n-1} - 1 + \frac{1}{\delta_{n-1} + 1} \right) = \frac{1}{2} \cdot \frac{\delta_{n-1}^2}{1 + \delta_{n-1}} = \\
&= \frac{\delta_{n-1}}{2(1 + \delta_{n-1})} \delta_{n-1} < \frac{1}{2} \delta_{n-1} < \dots < \frac{1}{2^n} \delta_0.
\end{aligned} \tag{I.5}$$

Неравенство $\delta_n < \delta_0 2^{-n}$ означает, что относительная ошибка убывает быстрее геометрической прогрессии со знаменателем 0.5, а значит алгоритм (I.3) сходится.

Исследуем условие $|x_N - \xi| < \varepsilon$. Заметим, что на луче $x > \sqrt{a}$ производная функция $\varphi'(x) = \frac{1}{2} \left(1 - \frac{a}{x^2} \right) \in (0; \frac{1}{2})$, и воспользуемся формулой Лагранжа:

$$\begin{aligned}
0 < x_n - \sqrt{a} &= \varphi(x_{n-1}) - \varphi(\sqrt{a}) \leq \max |\varphi'(x)| (x_{n-1} - \sqrt{a}) < \frac{1}{2} (x_{n-1} - \sqrt{a}) \Leftrightarrow \\
0 < 2x_n - 2\sqrt{a} &< x_{n-1} - \sqrt{a} \Leftrightarrow \sqrt{a} - x_n < x_n - \sqrt{a} < x_{n-1} - x_n \Leftrightarrow \\
0 < x_n - \sqrt{a} &< x_{n-1} - x_n
\end{aligned} \tag{I.6}$$

Последнее неравенство показывает, что для достижения заданной точности ε достаточно проверить разность двух соседних значений последовательности $\{x_n\}$:

$$x_{n-1} - x_n < \varepsilon \Rightarrow x_n - \sqrt{a} < \varepsilon. \tag{I.7}$$

Итак, построен алгоритм и доказана принципиальная возможность достигнуть любую заданную точность $\varepsilon > 0$ за конечное число шагов N :

$$x_0 > 0, x_n = \varphi(x_{n-1}), \quad \varphi(x) = \frac{1}{2} \left(x + \frac{a}{x} \right), \quad n \leq N : \quad |x_N - x_{N-1}| < \varepsilon. \tag{I.8}$$

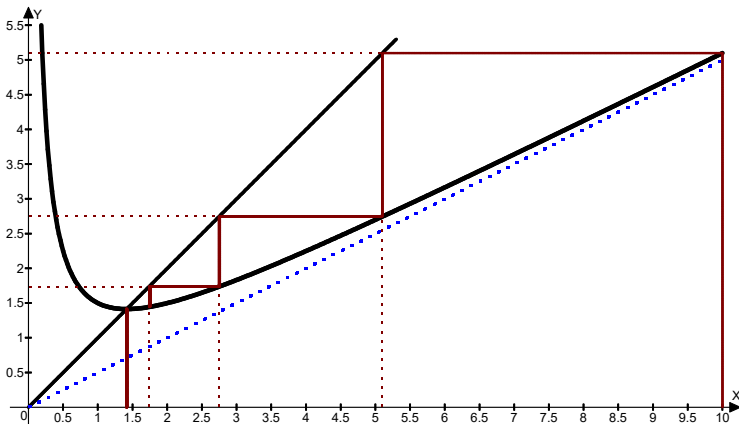


Рис. I.2. Устойчивый алгоритм вычисления $\sqrt{2}$ (для $x_0 = 10$).

3.3 Представление чисел в памяти ЭВМ. Проекции и их свойства

Дадим базовые определения для исследования приближенных вычислений.

Определение I.1: Погрешности точных величин

Обозначим через ξ точное значение величины и через ξ^* её приближенное значение.

- **абсолютной погрешностью (ошибкой)** приближенного значения ξ^* называется любое число $\Delta(\xi^*)$, удовлетворяющее неравенству $|\xi - \xi^*| \leq \Delta(\xi^*)$.
- **вычислительной относительной погрешностью (ошибкой)** приближенного значения ξ^* называется любое число $\delta(\xi^*)$, про которое известно, что $\left| \frac{\xi - \xi^*}{\xi^*} \right| \leq \delta(\xi^*)$. Эта величина близка к величине $|(\xi - \xi^*)/\xi|$, которая называется *физической относительной погрешностью*. Вычислительная относительная ошибка более удобна в приложениях.

Упражнение № I.1

Проверить, что для $\xi = 0$ физическая относительная ошибка не определена (равна бесконечности), а вычислительная *всегда* равна единице.

Множество чисел \mathbb{F} , которыми оперирует компьютер, отличается от множества действительных чисел \mathbb{R} . Числа в памяти машины являются приближенными значениями точных величин. Для операций над *приближенными физическими величинами* важно контролировать именно их относительную точность. Для этого используется различные *типы величин с плавающей точкой (float)*.

Определение I.2: Множество \mathbb{F} чисел с плавающей точкой.

Элементы конечного числового множества \mathbb{F} имеют вид: $\pm \left(\frac{d_1}{p} + \frac{d_2}{p^2} + \dots + \frac{d_t}{p^t} \right) p^\alpha$.

- $p \equiv \text{const} \geq 2$, $p \in \mathbb{N}$ — **основание системы счисления**, $t \equiv \text{const} \in \mathbb{N}$ — **разрядность**, $[L, U]$ — **интервал показателей**, $L, U \equiv \text{const} \in \mathbb{Z}$.
- $0 \leq d_i \leq p - 1$, $d_i \in \mathbb{N}$ — **разряды**, $1 \leq i \leq t$, $\alpha \in [L, U]$ — **показатель числа**.
- Выражение в скобках называется **мантиссой**, а параметр t — **длинной мантиссы**.
- В **нормализованном множестве** \mathbb{F} для всех чисел (кроме нуля) $d_1 \neq 0$.

Определение I.3: Приближением называется проекция $fl: \mathbb{R} \rightarrow \mathbb{F}$, со свойствами

- $\forall x \in \mathbb{R}: fl(x) \equiv \tilde{x} \in \mathbb{F}$ or $\tilde{x} = \infty$. Случай $\tilde{x} = \infty$ называется **переполнением**;
- $\forall x \in \mathbb{R}: \tilde{x} = x(1 + \rho_x)$, $\sup_x |\rho_x| = \rho$. Параметр ρ называется **машинной точностью**;
- $\forall x, y \in \mathbb{R}: fl(\tilde{x} * \tilde{y}) = (\tilde{x} * \tilde{y})(1 + \rho_{\tilde{x} * \tilde{y}})$, где значком «*» условно обозначена произвольная арифметическая операция над элементами множества \mathbb{F} .

Докажем, что ρ является **верхней границей для относительной физической погрешности представления ненулевого числа x в памяти компьютера**:

$$x(1 + \rho_x) = \tilde{x} \equiv x + (\tilde{x} - x) = x \left(1 + \frac{\tilde{x} - x}{x}\right) \Rightarrow \left|\frac{\tilde{x} - x}{x}\right| = |\rho_x| < \rho. \quad (I.9)$$

Упражнение № 1.2

- Проверить, что машинная точность ρ является *точностью (абсолютной погрешностью) представления единицы в памяти компьютера*: $\Delta(\bar{1}) \equiv |\bar{1} - 1| < \rho$.
- Доказать, что **мощность множества \mathbb{F}** равна: $|\mathbb{F}| = 2(p-1)p^{t-1}(U-L+1) + 1$.
- Доказать, что для традиционного **округления** выполнено $\rho = \frac{1}{2}p^{1-t}$.
- Доказать, что для **усечения — приближения отбрасыванием разрядов**: $\rho = p^{1-t}$.
- Построить приближение $f\ell: \mathbb{R} \rightarrow \mathbb{F}$ с параметрами $p = 2$, $t = 3$, $L = -1$, $U = 2$.
- Для множества \mathbb{F} , построенного выше, вычислить проекции: $f\ell\left(\frac{23}{32}\right)$; $f\ell\left(\frac{1}{8}\right)$; $f\ell\left(\frac{1}{2} + \frac{3}{4}\right)$; $f\ell\left(\frac{3}{8} + \frac{5}{4}\right)$; $f\ell\left(3 + \frac{7}{2}\right)$; $f\ell\left(\frac{7}{16} - \frac{3}{8}\right)$; $f\ell\left(\frac{1}{4} \cdot \frac{5}{16}\right)$.

3.4 Анализ влияния ошибок округления

Ошибки вычислений разделяют на **устраняемые** и **неустраняемые**.

Определение I.4: Неустраняемая ошибка и корректность алгоритма

- Итерационный алгоритм вычисления *приближенного значения x_n точной величины ξ* обладает **неустраняемой ошибкой**, если существует такое $\delta_{\min} > 0$, что $\forall \delta < \delta_{\min}$: $|x_n - \xi|/|\xi| \geq \delta$, $n = 0, 1 \dots$
- Алгоритм называется **корректным**, если неустраняемая ошибка является величиной порядка точности ЭВМ: $\delta_{\min} = O(\rho)$.

Для алгоритма (I.8) *устраняемой ошибкой* является параметр ε , который принципиально возможно выбрать сколь угодно малым и, самое главное, достигнуть выбранной точности за *конечное* число вычислений. Однако реальные вычисления проводятся с округленными величинами из множества \mathbb{F} , что и создает *неустраняемую ошибку*. Оценим неустраняемую ошибку $\delta_{\min}(\rho)$ алгоритма (I.8) и докажем его корректность.

Обозначим $y_n \equiv x_n/\sqrt{a}$, $f\ell(y_n) \equiv \tilde{y}_n = y_n \cdot (1 + \rho_n)$. Отметим, что в отличие от последовательности $\{y_n\} \rightarrow 1$, последовательность $\{\tilde{y}_n\}$ вообще-то является расходящейся и для неё возможно лишь установить границы значений. При выполнении естественного условия $\tilde{y}_0 = y_0 \cdot (1 + \rho_0) > 0$, с помощью неравенства Коши получаем оценку слева для всех номеров $n \geq 1$:

$$\begin{aligned} \rho \ll 1 \Rightarrow \tilde{y}_n &= \frac{1}{2} \left(\tilde{y}_{n-1} + \frac{1}{\tilde{y}_{n-1}} \right) (1 + \rho_n) \geq \frac{1}{2} \left(\tilde{y}_{n-1} + \frac{1}{\tilde{y}_{n-1}} \right) (1 - \rho) \geq \\ &\geq (1 - \rho) \sqrt{\tilde{y}_{n-1} \cdot \frac{1}{\tilde{y}_{n-1}}} = (1 - \rho) \Rightarrow \end{aligned}$$

$$\tilde{y}_n \geq 1 - \rho > 0, \quad 0 < \frac{1}{\tilde{y}_n} \leq \frac{1}{1 - \rho}, \quad n = 1, 2, \dots \quad (\text{I.10})$$

Ранее нами установлено, что алгоритм (I.8) сходится при *любом положительном начальном значении*. Однако очевидно, что результат расчёта на ЭВМ будет некорректен, если взять y_0 слишком близким к нулю: $y_0 \ll 1 \Rightarrow fl((y_0)^{-1}) = \infty$. Следовательно, одним из критериев устойчивости должно быть условие *отделимости от нуля* начального значения x_0 . Поэтому, не ограничивая общности и для упрощения дальнейших рассуждений, будем считать, что условия (I.10) выполнены и для $n = 0$.

Теперь для $\{\tilde{y}_n\}$ построим последовательность-мажоранту $\{t_n\}$: $t_0 = x_0 \cdot (1 + \rho)$,
 $t_n = \frac{1 + \rho}{2} \left(t_{n-1} + \frac{1}{1 - \rho} \right)$, $n = 1, 2, \dots$ Очевидно, что $\tilde{y}_0 = x_0 \cdot (1 + \rho_0) \leq t_0$ и имеем:

$$\tilde{y}_1 = \frac{1}{2} \left(\tilde{y}_0 + \frac{1}{\tilde{y}_0} \right) (1 + \rho_1) \leq \frac{1 + \rho}{2} \left(\tilde{y}_0 + \frac{1}{1 - \rho} \right) \leq \frac{1 + \rho}{2} \left(t_0 + \frac{1}{1 - \rho} \right) = t_1 \Rightarrow$$

$$\tilde{y}_2 = \frac{1}{2} \left(\tilde{y}_1 + \frac{1}{\tilde{y}_1} \right) (1 + \rho_2) \leq \frac{1 + \rho}{2} \left(\tilde{y}_1 + \frac{1}{1 - \rho} \right) \leq \frac{1 + \rho}{2} \left(t_1 + \frac{1}{1 - \rho} \right) = t_2 \Rightarrow$$

...

$$\tilde{y}_n = \frac{1}{2} \left(\tilde{y}_{n-1} + \frac{1}{\tilde{y}_{n-1}} \right) (1 + \rho_n) \leq \frac{1 + \rho}{2} \left(\tilde{y}_{n-1} + \frac{1}{1 - \rho} \right) \leq \frac{1 + \rho}{2} \left(t_{n-1} + \frac{1}{1 - \rho} \right) = t_n.$$

Упражнение № I.3

Для последовательности-мажоранты $\{t_n\}$ вывести формулу общего члена при любом начальном значении t_0 :

$$t_n = \frac{1 + \rho}{2} \left(t_{n-1} + \frac{1}{1 - \rho} \right) \Leftrightarrow t_n = \left(t_0 - \frac{1 + \rho}{(1 - \rho)^2} \right) \left(\frac{1 + \rho}{2} \right)^n + \frac{1 + \rho}{(1 - \rho)^2}.$$

Отсюда получить результат: $\forall \rho \ll 1 \exists N_\rho: \quad t_n \leq \rho + (1 + \rho)/(1 - \rho)^2 \quad \forall n \geq N_\rho$.

Теперь легко доказываем сходимость $\{\tilde{y}_n\}$ и получаем оценку для элементов $\{\tilde{y}_n\}$:

$$\lim_{n \rightarrow \infty} t_n = \frac{1 + \rho}{(1 - \rho)^2} \Rightarrow t_n \leq \rho + \frac{1 + \rho}{(1 - \rho)^2} \Rightarrow \tilde{y}_n \leq t_n \leq \rho + \frac{1 + \rho}{(1 - \rho)^2}, \quad n \geq N_\rho \Rightarrow$$

$$\tilde{y}_n \leq \rho + \frac{1 + \rho}{1 - 2\rho + \rho^2} < \rho + \frac{1 + \rho}{1 - 2\rho} < \rho + (1 + \rho)(1 + 3\rho) = 1 + 5\rho + 3\rho^2 < 1 + 6\rho$$

(при выводе учтено, что для $\rho \ll 1$ выполнено: $(1 - 2\rho)^{-1} < 1 + 3\rho$ и $3\rho^2 < \rho$).

Окончательно получаем ограничения для элементов последовательности $\{\tilde{y}_n\}$:

$$1 - 6\rho < 1 - \rho \leq \tilde{y}_n < 1 + 6\rho, \quad n \geq N_\rho \Rightarrow |\tilde{y}_n - 1| < 6\rho \Rightarrow \varepsilon/\sqrt{a} \geq 6\rho.$$

Доказано, что ошибки округления не накапливаются и алгоритм (I.8) завершится за конечное время, если точность приближения ε выбирать **не меньше** чем $6\rho\sqrt{a}$.

Из проведенного **полного** анализа алгоритма (I.8) сделаем общие выводы.

Правило: Общие свойства численных алгоритмов [1]

1. Исходная задача заменяется другой, численной, решение которой в некотором смысле близко к требуемому решению.
2. В новой задаче возникает параметр N , которого нет в первоначальной задаче.
3. Выбором параметра *принципиально* можно добиться любой близости решений.
4. Ошибки округления при машинной реализации алгоритма не накапливаются и существенно не меняют его свойств.

Далее представлена реализация алгоритма на языке C++ и результат расчета.

```

1 // Квадратный корень из положительного числа
2
3 #include <iostream> // Стандартная библиотека ввода-вывода
4 #include <math.h>   // Библиотека стандартных математических функций
5 #include <fstream>  // Библиотека функций для работы с потоками (файлами)
6 using namespace std;
7 #define a 2
8 #define eps 0.0001 // Требуемая точность вычисления ε
9 #define x0 100 // Начальное приближение
10
11 int main()
12 {
13     setlocale(LC_ALL, "Russian");
14     ofstream fout;
15     fout.open("root.txt");
16     double x1 = 0, x = x0, temp = eps + 1.;
17     int N = 0;
18
19     if ( a < 0 ) {
20         /* Вывод результатов на консоль */
21         cout << "Введено отрицательное число" << endl;
22         /* Вывод результатов в файл */
23         fout << "Введено отрицательное число" << endl;
24         return -1;
25     }
26
27     while (temp >= eps) {
28         x1 = 0.5 * ( x + a / x );
29         cout << "x1 = " << x1 << endl;
30         fout << "x1 = " << x1 << endl;
31         temp = fabs( x - x1 );
32         x = x1;
33         N++;
34     }

```

```
35     fout << "Sqrt(" << a << ") = " << x1 << endl;
36     fout << "N = " << N << endl;
37     cout << "Sqrt(" << a << ") = " << x1 << " " << "N = " << N << endl;
38     fout.close();
39     return 0;
40 }
41 /*Результаты работы программы:
42 x0 = 100
43 x1 = 50.01
44 x1 = 25.025
45 x1 = 12.5525
46 x1 = 6.35589
47 x1 = 3.33528
48 x1 = 1.96747
49 x1 = 1.492
50 x1 = 1.41624
51 x1 = 1.41422
52 x1 = 1.41421
53 Sqrt(2) = 1.41421
54 N = 10 */
```

Листинг I.1. Метод простой итерации для вычисления квадратного корня из 2

II Решение нелинейных алгебраических уравнений

Задача состоит в решении нелинейного уравнения $f(x) = 0$. Функция $f(x)$ определена и непрерывна на некотором отрезке $x \in [a, b]$, имеет, по меньшей мере, один изолированный корень $\xi \in [a, b]$ и принимает на концах этого отрезка значения разных знаков, т. е. $f(a) \cdot f(b) < 0$. Докажем теорему.

Теорема II.1: Достаточное условие существования единственного корня

Пусть $f(x) \in C^2[a, b]$ и $f''(x)$ не меняет знак на $[a, b]$. Тогда:

1. Если $f(a) \cdot f(b) < 0$, то $\exists! \xi \in (a, b)$, такое что $f(\xi) = 0$.
2. Если $f(a) = f(b) = 0$, то корней на (a, b) нет.

Доказательство. Докажем п. 1 теоремы. Непрерывная и меняющая знак на интервале функция имеет по крайней мере один корень на этом интервале: $f(\xi_1 \in (a, b)) = 0$. Далее предположим (от противного), что $a < \xi_1 < \xi_2 < b$, $f(\xi_1) = f(\xi_2) = 0$. Тогда по теореме Ролля, существует $\theta \in (\xi_1, \xi_2)$, что $f'(\theta) = 0$. Рассмотрим случай $f''(x) \geq 0$ на $[a, b]$. Тогда производная функция $f'(x)$ не убывает на $[a, b]$. Из этого и из условия $f'(\theta) = 0$ делаем вывод, что $f'(x) \leq 0$, $x \in [a, \theta]$ и $f'(x) \geq 0$, $x \in [\theta, b]$. А значит $f(x)$ не возрастает на $[a, \theta]$ и не убывает на $[\theta, b]$. Поэтому $f(a) \geq f(\xi_1) = 0$ и $0 = f(\xi_2) \leq f(b)$, что противоречит условию $f(a) \cdot f(b) < 0$. Случай $f''(x) \leq 0$ рассматривается аналогично.

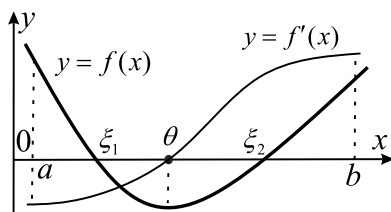


Рис. II.1. К доказательству теоремы

Для доказательства п. 2 теоремы от противного предположим, что $f(a) = f(\xi) = f(b) = 0$ для $a < \xi < b$. Тогда по теореме Ролля заключаем, что $\exists \theta_1 \in (a, \xi) < \theta_2 \in (\xi, b)$ и $f'(\theta_1) = f'(\theta_2) = 0$. Применим теорему Ролля теперь к функции $f'(x)$ и получим, что вторая производная $f''(x)$ меняет знак на интервале (a, b) . ▲

1 Метод хорд (метод секущих)

Для нахождения очередного приближения корня, находящегося в интервале $[a, b]$, этот интервал делят в отношении $|f(a)| : |f(b)|$. Геометрически метод хорд эквивалентен замене кривой $y = f(x)$ хордой, проходящей через точки $(a, f(a))$ и $(b, f(b))$. Уравнение хорды $h_1(x) = \frac{f(b)-f(a)}{b-a}(x-a) + f(a)$, $x \in [a, b]$. Абсцисса точки пересечения x_1 хорды с осью OX : $h_1(x_1) = 0$ определяется, очевидно, по формуле:

$$x_1 = a - \frac{f(a)}{f(b) - f(a)}(b - a) \quad (\text{II.1})$$

и является приближённым значением корня ξ . Далее выбирается тот из интервалов $[a, x_1]$ или $[x_1, b]$, в котором функция меняет свой знак, и процесс уточнения корня повторяется. Установим условия возрастания (убывания) последовательности $\{x_n\}$.

Предположим, что вторая производная $f''(x)$ на интервале $[a, b]$ сохраняет знак. Пусть для определённости $f''(x) < 0$ и $f(a) < 0$, так что выполнено условие

$f''(x) \cdot f(a) > 0$. Исследуем $\Phi(x) \equiv f(x) - h_1(x) = f(x) - \frac{f(b)-f(a)}{b-a}(x-a) - f(a)$, $x \in [a; b]$. Выполнены условия второго пункта теоремы: $\Phi''(x) \equiv f''(x) < 0$ на $[a; b]$ и $\Phi(a) = \Phi(b) = 0$. Значит, функция $\Phi(x)$ на интервале (a, b) сохраняет знак. В данном случае $\Phi(x) > 0$, поскольку $\Phi(a) = 0$ и $\Phi'(a) > 0$. В частности $\Phi(x_1) > 0$. Из свойства $h(x_1) = 0$ следует, что $f(x_1) = \Phi(x_1) > 0 \Rightarrow f(a) \cdot f(x_1) < 0$. На новом отрезке $[a; x_1]$ для хорды $h_2(x) = \frac{f(x_1)-f(a)}{x_1-a}(x-a) + f(a)$ находим корень $h_2(x_2) = 0$ и анализ повторяется. Так получаем отрезки $[a; x_2]$, $[a; x_3] \dots$ и расчетные формулы:

Определение П.1: Метод хорд (метод секущих)

$$x_{n+1} = x_n - \frac{f(x_n)}{f(x_n) - f(a)}(x_n - a), \quad x_0 = b, \quad n = 0, 1 \dots N; \quad (\text{II.2})$$

$$x_{n+1} = x_n - \frac{f(x_n)}{f(b) - f(x_n)}(b - x_n), \quad x_0 = a, \quad n = 0, 1 \dots N; \quad (\text{II.3})$$

$$|x_{N+1} - x_N| < \frac{m}{M - m} \varepsilon, \quad 0 < m \leq m_1 = \min_{[a,b]} |f'(x)|, \quad M \geq M_1 = \max_{[a,b]} |f'(x)|.$$

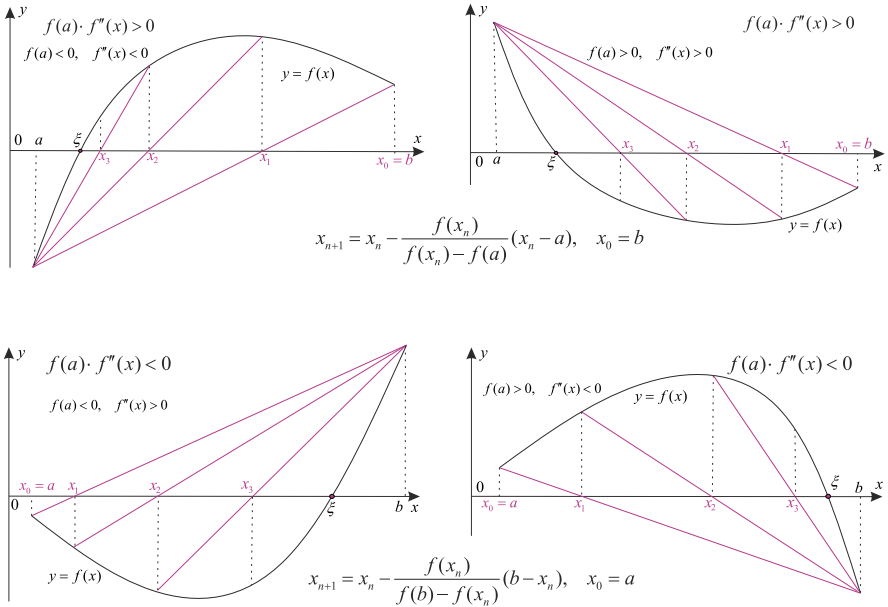


Рис. П.2. Метод хорд (метод секущих)

Очевидно, что $\{x_n\}$ монотонно убывает и ограничена слева: $x_n > \xi > a$, $\forall n$. По теореме Коши, $\{x_n\}$ является сходящейся последовательностью, т. е. $\exists \xi = \lim_{n \rightarrow \infty} x_n$. Переходя к пределу при $n \rightarrow \infty$ в (II.2), учтём непрерывность функции $f(x)$: $\lim_{n \rightarrow \infty} f(x_n) = f(\lim_{n \rightarrow \infty} x_n) = f(\xi)$. Также учтём, что $\xi \geq \xi > a$ и $f(\xi) \geq 0 > f(a)$.

Тогда получим

$$\zeta = \zeta - \frac{f(\zeta)}{f(\zeta) - f(a)}(\zeta - a) \Leftrightarrow f(\zeta) = 0 \Leftrightarrow \zeta = \xi,$$

что завершает доказательство сходимости процесса (II.2) к корню уравнения $f(x) = 0$.

Для случая, когда $f''(x) > 0$ и $f(a) > 0$, аналогично обосновывается неподвижность левого конца a (*докажите!*). Значит, неравенство $f''(x) \cdot f(a) > 0$ является *достаточным условием* для расчёта по формулам (II.2).

Если выполнено условие $f''(x) \cdot f(b) > 0$, то неподвижен конец b (*докажите!*) и вычисления производятся по формуле (II.3).

Номер N , когда гарантированно достигнута заданная точность $\varepsilon > |x_{N+1} - \xi|$, определим с помощью теоремы Лагранжа о конечных приращениях ($\forall z, y \exists \theta \in (y, z) : f(z) - f(y) = f'(\theta)(z - y)$), условия $f(\xi) = 0$ и равенств (II.3):

$$\begin{aligned} 0 < x_{n+1} - x_n &= |x_{n+1} - x_n| = \frac{|f(x_n)|}{|f(b) - f(x_n)|} |b - x_n| = \frac{|f(x_n) - f(\xi)|}{|f(b) - f(x_n)|} |b - x_n| \geq \\ &\geq \frac{m_1 |x_n - \xi|}{M_1 |b - x_n|} |b - x_n| = \frac{m_1}{M_1} |x_n - \xi| = \frac{m_1}{M_1} (\xi - x_n) \Leftrightarrow (x_{n+1} - x_n) - \frac{m_1}{M_1} (x_{n+1} - x_n) \geq \\ &\geq \frac{m_1}{M_1} (\xi - x_n) - \frac{m_1}{M_1} (x_{n+1} - x_n) \Leftrightarrow \frac{M_1 - m_1}{M_1} (x_{n+1} - x_n) \geq \frac{m_1}{M_1} (\xi - x_{n+1}) \Leftrightarrow \\ &\Leftrightarrow \frac{M_1 - m_1}{m_1} (x_{n+1} - x_n) \geq (\xi - x_{n+1}) \Leftrightarrow |x_{n+1} - \xi| \leq \frac{M_1 - m_1}{m_1} |x_{n+1} - x_n| < \varepsilon \quad (\text{II.4}) \end{aligned}$$

Для (II.2) выводится аналогичное неравенство (*проверить!*). Таким образом, получили критерий достижения заданной точности ε :

$$|x_{n+1} - \xi| < \varepsilon \Leftrightarrow |x_{n+1} - x_n| < \frac{m_1}{M_1 - m_1} \varepsilon \quad (\text{II.5})$$

Пример II.1 (Метод хорд). Пусть требуется решить уравнение $2^x + 5x - 2 = 0$ с точностью $\varepsilon = 10^{-4}$. Для этого введём и исследуем функцию $f(x) = 2^x + 5x - 2$.

Сначала необходимо локализовать и отделить корень, т. е. определить отрезок $[a; b]$, в котором находится один и только один корень уравнения. Дифференцируя $f(x)$, получаем: $f'(x) = 2^x \cdot \ln 2 + 5 > 0$, $\forall x$, т. о. $f(x)$ монотонно возрастает на всём ОДЗ. Далее, $f(0) = -1 < 0$ и $f(1) = 5 > 0$. Итак, уравнение имеет единственный корень $\xi \in [0; 1]$.

Для определения констант m_1 и M_1 минимальное и максимальное значения производной следует вычислять с заданной точностью ε . Вторая производная функции $f(x)$: $f''(x) = 2^x (\ln 2)^2 > 0$, $\forall x$, значит $f'(x)$ монотонно возрастает и $m_1 = f'(0) \approx 5.6931$, $M_1 = f'(1) \approx 6.3863$. Можно поступить иначе и расширить отрезок $[m_1; M_1]$, определив минимальное значение с недостатком $m_1 = f'(0) > 5.69 \equiv m$, а максимальное значение с избытком $M_1 = f'(1) < 6.39 \equiv M$.

Функция $f''(x)$ всюду положительная, $f(1) = 5$, $f''(x) \cdot f(b) > 0$. Следовательно, последовательные приближения корня будем искать по формуле (II.3).

Определим условие окончания итераций

$$|x_{n+1} - \xi| \leq \frac{M_1 - m_1}{m_1} |x_{n+1} - x_n| < \frac{M - m}{m} |x_{n+1} - x_n| = \frac{6.39 - 5.69}{5.69} |x_{n+1} - x_n| < \\ < 10^{-4} \Rightarrow |x_{n+1} - x_n| < \frac{5.69}{6.39 - 5.69} \cdot 10^{-4} \Rightarrow |x_{n+1} - x_n| < 8 \cdot 10^{-4} = 0.0008,$$

здесь последнюю дробь вычислили с недостатком. Результат вычислений: $x_0 = 0$, $x_1 = 0.1667$, $x_2 = 0.1740$, $x_3 = 0.1743$, $x_4 = 0.1743 \dots$

2 Метод Ньютона (метод касательных)

В методе Ньютона приближенное значение корня уравнения $f(x) = 0$ находится из условия $h(x) = 0$, где $y = h(x)$ — уравнение касательной к графику функции $f(x)$. Пусть $(x_0; f(x_0))$ — точка на графике. Тогда уравнение касательной, проведённой в этой точке: $h_0(x) = f'(x_0)(x - x_0) + f(x_0)$. Абсцисса точки пересечения касательной с осью OX : $0 = f'(x_0)(x_1 - x_0) + f(x_0) \Leftrightarrow x_1 = x_0 - f(x_0)(f'(x_0))^{-1}$. Проведя касательную к точке $(x_1; f(x_1))$, найдём x_2 и т. д. Получили итерационный процесс:

Определение II.2: Метод Ньютона (метод касательных)

$$x_0 \in (a, b), \quad x_{n+1} = x_n - \frac{f(x_n)}{f'(x_n)}, \quad n = 0, 1 \dots N, \quad |x_{N+1} - x_N| < \frac{m}{M - m} \varepsilon$$

Теорема II.2: Достаточные условия сходимости метода Ньютона II.2

- корень $\xi \in (a; b)$;
- функции $f'(x)$ и $f''(x)$ непрерывны и сохраняют определённые знаки на отрезке $[a; b]$;
- начальное приближение $x_0 \in (a; b)$;
- $f(x_0) \cdot f''(x_0) > 0$.

Проверим для случая, когда $f'(x)$, $f''(x)$ — положительны на $[a; b]$ и $f(x_0) > 0$.

Во-первых, условие $f'(x) > 0$ означает монотонный рост функции $f(x)$, так что $f(a) < 0$, $f(b) > 0$ и корень ξ — единственный на $[a; b]$. Из монотонного роста $f(x)$ следует также, что $x_0 > \xi$, поскольку $f(x_0) > 0 = f(\xi)$.

Во-вторых, из определения II.2 при $n = 0$ легко получаем, что $x_1 < x_0$.

В-третьих, из условий $f'(x)$, $f''(x) > 0$ следует, что $f'(x)$ положительна и монотонно возрастает на $[a; b]$. Значит, выполнено двойное неравенство $0 < \frac{f'(\theta)}{f'(x_0)} < 1$, $\forall \theta \in (a; x_0)$. Используем его для доказательства неравенства $\xi < x_1$:

$$x_1 - \xi = x_0 - \frac{f(x_0)}{f'(x_0)} - \xi = x_0 - \xi - \frac{f(x_0) - f(\xi)}{f'(x_0)} = x_0 - \xi - \frac{f'(\theta)(x_0 - \xi)}{f'(x_0)} = \\ = (x_0 - \xi) \left(1 - \frac{f'(\theta)}{f'(x_0)} \right) > 0, \quad \text{т.к. согласно теореме Лагранжа } \theta \in (\xi; x_0).$$

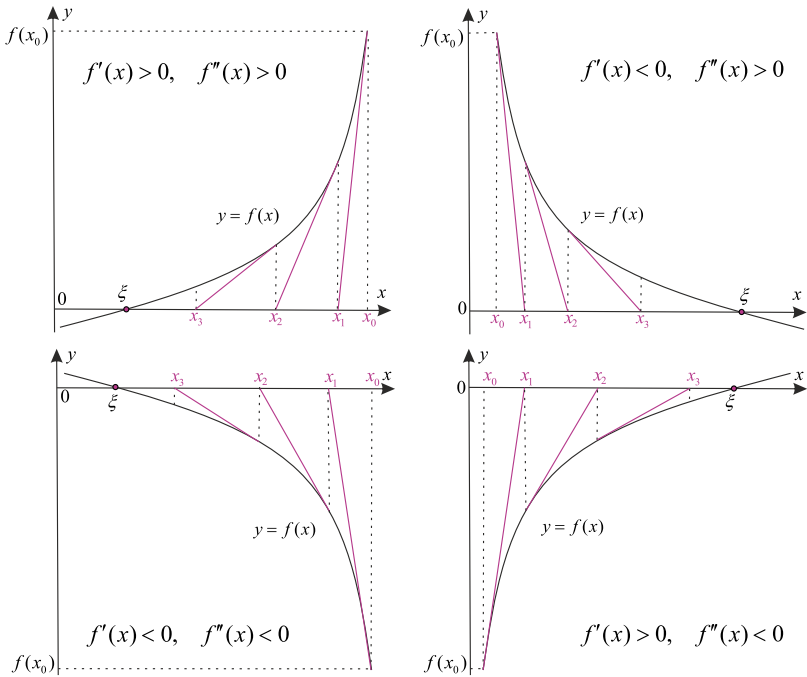


Рис. П.3. Метод Ньютона

Теперь методом индукции находим, что $\xi < \dots < x_n < \dots < x_1 < x_0$. Окончательно, как и при обосновании метода хорд, легко устанавливается сходимость монотонной ограниченной последовательности $\{x_n\}$ к значению ξ .

Пусть как и ранее $m_1 = \min_{[a,b]} |f'(x)| > 0$, $M_1 = \max_{[a,b]} |f'(x)|$. Найдём критерий достижения заданной точности ε : $|x_{n+1} - \xi| < \varepsilon$. Используя формулу Лагранжа и то, что $f(\xi) = 0$, для метода П.2 получаем

$$\begin{aligned}
 0 < x_n - x_{n+1} &= |x_{n+1} - x_n| = \frac{|f(x_n)|}{|f'(x_n)|} = \frac{|f(x_n) - f(\xi)|}{|f'(x_n)|} \geq \frac{m_1 |x_n - \xi|}{M_1} = \\
 &= \frac{m_1}{M_1} (x_n - \xi) \Leftrightarrow (x_n - x_{n+1}) - \frac{m_1}{M_1} (x_n - x_{n+1}) \geq \frac{m_1}{M_1} (x_n - \xi) - \frac{m_1}{M_1} (x_n - x_{n+1}) \Leftrightarrow \\
 &\frac{M_1 - m_1}{M_1} (x_n - x_{n+1}) \geq \frac{m_1}{M_1} (x_{n+1} - \xi) \Leftrightarrow \frac{M_1 - m_1}{m_1} (x_n - x_{n+1}) \geq (x_{n+1} - \xi) \quad (\text{П.6})
 \end{aligned}$$

Отсюда выводим критерий завершения счёта, совпадающий с (П.5).

В заключении отметим, что приближенные значения m , M констант m_1 , M_1 следует вычислять либо с точностью, не меньшей ε . Иначе следует расширить отрезок $[m_1; M_1] \subset [m; M]$ (см. пример на применение метода хорд).

Пример П.2 (Метод Ньютона). Для уравнения $2^x + 5x - 2 = 0$ (точность решения оставим равной $\varepsilon = 10^{-4}$) определение П.2 примет следующий вид

$$x_{n+1} = x_n - \frac{f(x_n)}{f'(x_n)} = x_n - \frac{2^{x_n} + 5x_n - 2}{2^{x_n} \ln 2 + 5}. \quad (\text{П.7})$$

Критерий остановки счета возьмем из метода хорд: $|x_{n+1} - x_n| < 8 \cdot 10^{-4} = 0.0008$.
 Результат вычислений: $x_0 = 0$, $x_1 = 0.1757$, $x_2 = 0.1743$, $x_3 = 0.1743 \dots$

3 Метод простой итерации

Заменяем уравнение $f(x) = 0$ на **эквивалентное уравнение** $x = \varphi(x)$, так чтобы на отрезке локализации корня $[a, b]$ было выполнено $f(x) = 0 \Leftrightarrow x = \varphi(x)$. Таким образом, ξ одновременно является нулем функции $f(x)$ и **стационарной точкой эквивалентной функции $\varphi(x)$** . Приближенное значение стационарной точки ξ будем искать по рекуррентной формуле $x_{n+1} = \varphi(x_n)$. Функцию $\varphi(x)$ необходимо выбрать так, чтобы последовательность x_n являлась *сходящейся* (тогда её пределом будет точка ξ). Например, достаточно потребовать, чтобы функция $\varphi(x)$ была *сжимающим отображением* отрезка $[a; b]$, т.е. обладала следующими свойствами:

- Для функции $\varphi(x)$ выполнено условие $\forall x \in [a; b] \Rightarrow \varphi(x) \in [a; b]$;
- существует такое число q , для которого $|\varphi'(x)| \leq q < 1$ при $x \in [a; b]$.

Докажем, что последовательности x_n сходятся независимо от начального значения $x_0 \in [a; b]$. Для этого проверим, что последовательность $\{x_n\}$ является фундаментальной. Используем теорему Лагранжа о конечных приращениях:

$$\begin{aligned}
 |x_{n+1} - x_n| &= |\varphi(x_n) - \varphi(x_{n-1})| \leq q|x_n - x_{n-1}| \leq q^2|x_{n-1} - x_{n-2}| \leq \dots \leq q^n|x_1 - x_0| \\
 &\Downarrow \\
 |x_{n+k} - x_n| &= |(x_{n+k} - x_{n+k-1}) + (x_{n+k-1} - x_{n+k-2}) + \dots + (x_{n+1} - x_n)| \leq \\
 &\leq |x_{n+k} - x_{n+k-1}| + |x_{n+k-1} - x_{n+k-2}| + \dots + |x_{n+1} - x_n| \leq \\
 &\leq q^{n+k-1}|x_1 - x_0| + q^{n+k-2}|x_1 - x_0| + \dots + q^n|x_1 - x_0| = \\
 &= (q^{n+k-1} + \dots + q^n)|x_1 - x_0| = q^n \frac{1 - q^k}{1 - q} |x_1 - x_0| \leq \frac{q^n}{1 - q} |x_1 - x_0|, \quad (\text{II.8})
 \end{aligned}$$

откуда легко видеть ($0 < q < 1$), что для любого $\delta > 0$ найдётся такой номер N , что $\forall n \geq N$ и $\forall k \geq 1$ выполнено $|x_{n+k} - x_n| < \delta$, т.е. последовательность $\{x_n\}$ — фундаментальна. Известно, что числовая фундаментальная последовательность сходится. Тогда переходя к пределу в $x_{n+1} = \varphi(x_n)$ и с учетом непрерывности $\varphi(x)$ получаем:

$$\zeta \equiv \lim_{n \rightarrow \infty} x_{n+1} = \lim_{n \rightarrow \infty} \varphi(x_n) = \varphi\left(\lim_{n \rightarrow \infty} x_n\right) = \varphi(\zeta) \Rightarrow \lim_{n \rightarrow \infty} x_n = \xi = \varphi(\xi), \quad \xi \in [a; b].$$

Установим критерий достижения заданной точности $|x_{N+1} - \xi| < \varepsilon$:

$$|x_{n+1} - x_n| = |(x_{n+1} - \xi) - (x_n - \xi)| \geq |x_n - \xi| - |x_{n+1} - \xi| = |x_n - \xi| -$$

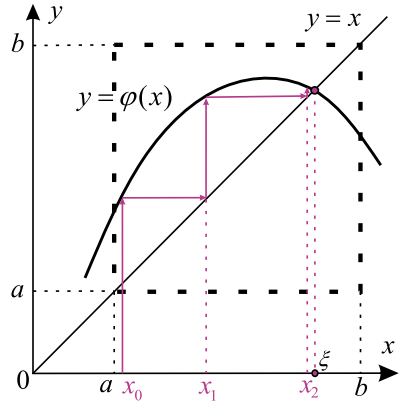


Рис. II.4. Метод простой итерации

$$\begin{aligned}
 -|\varphi(x_n) - \varphi(\xi)| &\geq |x_n - \xi| - q|x_n - \xi| = (1 - q)|x_n - \xi| \geq (1 - q)\frac{1}{q}|\varphi(x_n) - \varphi(\xi)| = \\
 &= \frac{1 - q}{q}|x_{n+1} - \xi| \Rightarrow \boxed{|x_{n+1} - \xi| \leq \frac{q}{1 - q}|x_{n+1} - x_n| < \varepsilon} \quad (\text{II.9})
 \end{aligned}$$

Определение П.3: Метод простых итераций

$$x_0 \in [a, b], \quad x_{n+1} = \varphi(x_n), \quad n = 0, 1 \dots N, \quad |x_{N+1} - x_N| < \frac{1 - q}{q}\varepsilon, \quad 1 > q \geq \max_{[a; b]} |\varphi'(x)|$$

Пример П.3 (Метод простой итерации-1). Рассмотрим снова уравнение $2^x + 5x - 2 = 0$ (требуемая точность решения по прежнему $\varepsilon = 10^{-4}$).

Локализация корня нам известна: $\xi \in [0; 1]$. Перепишем уравнение в виде:

$$x = \frac{2 - 2^x}{5}, \quad \varphi(x) \equiv \frac{2 - 2^x}{5} \Rightarrow x = \varphi(x).$$

Докажем, что функция $\varphi(x)$ является сжимающим отображением для отрезка $[0; 1]$. Производная $\varphi'(x) = -\frac{\ln 2}{5}2^x < 0, \forall x$, значит $\varphi(x)$ монотонно убывает. Тогда

$$0 = \varphi(1) = \min_{[0; 1]} \varphi(x) < \max_{[0; 1]} \varphi(x) = \varphi(0) = 0.4 < 1 \Rightarrow \varphi([0; 1]) \subset [0; 1];$$

$$\max_{[0; 1]} |\varphi'(x)| = |\varphi'(1)| = \frac{2 \ln 2}{5} < 0.3 < 1 \Rightarrow q = 0.3.$$

Достаточные условия сходимости выполнены. Вычисления проводим по формулам

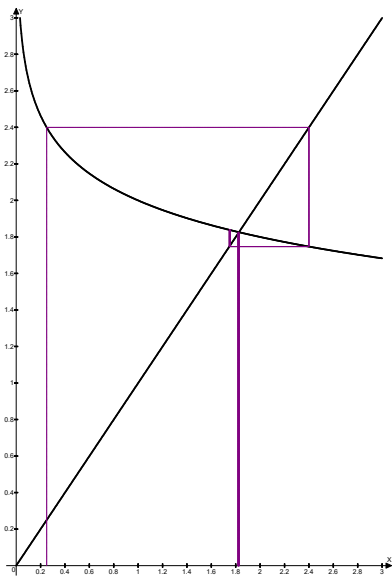
$$x_0 = 0.2, \quad x_{n+1} = \frac{2 - 2^{x_n}}{5}, \quad n = 0.1 \dots N, \quad |x_{N+1} - x_N| < \frac{1 - q}{q}\varepsilon = \frac{7}{3}10^{-4} \approx 2.3 \cdot 10^{-4}.$$

Здесь дробь $7/3$ вычислена с недостатком, чтобы гарантировать требуемую точность. В качестве начального приближения x_0 можно взять произвольное число из отрезка $[0; 1]$, и мы для сравнения с рассмотренными методами выберем $x_0 = 0$. Результаты вычислений: $x_0 = 0, x_1 = 0.2, x_2 = 0.1703, x_3 = 0.1749, x_4 = 0.1742, x_5 = 0.1743, x_6 = 0.1743 \dots$

Пример П.4 (Метод простой итерации-2). Рассмотрим для сравнения уравнение $f(x) \equiv 2^x + \frac{1}{5}x - 2 = 0$. Функция $f(x)$ по прежнему монотонна, её единственный корень локализован в отрезке $\xi \in [0; 1]$. Попробуем применить рассмотренный выше способ и запишем:

$$x = 5(2 - 2^x), \quad \varphi(x) \equiv 5(2 - 2^x) \Rightarrow x_{n+1} = \varphi(x_n).$$

В отличие от предыдущего примера, здесь отображение $\varphi(x)$ уже не является сжимающим на отрезке $[0; 1]$ (Проверить!).

Рис. II.5. «Хорошая» функция $\varphi(x)$

Заметим, что выполнение требования $|\varphi'(x)| < 1$ не является необходимым для сходимости алгоритма простой итерации (только достаточным). Однако в данном случае предложенный алгоритм расходится. Например, вычислим с точностью 10^{-4} последовательность: $x_0 = 0.2, x_1 = 4.2565, x_2 = -85.5667, x_3 = 10, x_4 = -5110, x_5 = 10, x_5 = -5110 \dots$

Для получения «хорошей» функции $\varphi(x)$ можно, например, произвести замену $z = 2^x$, так что уравнение переписывается в виде $z + \frac{1}{5} \log_2 z - 2 = 0$. Тогда получаем итерационный алгоритм $z = 2 - \frac{\log_2 z}{5} \equiv \varphi(z) \Rightarrow z_{n+1} = \varphi(z_n), z_0 \in [1; 2]$, $\max_{[1;2]} |\varphi'(z)| = |\varphi'(1)| = \frac{1}{5 \ln 2} < 0.3 \equiv q$.

Получили рекуррентную последовательность, которая сходится к корню немонотонно (рис. II.5). Для $x_0 = 0: z_0 = 1, z_1 = 2, z_2 = 1.8, z_3 = 1.8304,$

$z_4 = 1.8256, z_5 = 1.8263, z_6 = 1.8262, z_7 = 1.8262 \dots$ Вернемся к переменной x и получим ответ: $\xi^* = \log_2 1.8262 \approx 0.8689$.

Если функций $f(x)$ монотонна на отрезке $[a, b]$ (а значит её производная сохраняет знак на этом отрезке), то функцию $\varphi(x) \in C^1[a, b]$ можно выбрать в виде:

$$\varphi(x) = x - \text{sign}(f'(x)) \frac{f(x)}{M}, \quad \text{sign}(x) = \begin{cases} 1, & x > 0, \\ 0, & x = 0, \\ -1, & x < 0. \end{cases} \quad M \geq \max_{[a;b]} |f'(x)|. \quad (\text{II.10})$$

Очевидно, что $\varphi'(x) = 1 - \text{sign}(f'(x)) \frac{f'(x)}{M} = 1 - \frac{|f'(x)|}{M} \leq \left(1 - \frac{m}{M}\right) \equiv q < 1$, где $0 < m \leq \min_{[a;b]} |f'(x)|$. Для нашего примера $f(x) = 2^x + 0.2x - 2 \Rightarrow M \equiv 2.5 > \max_{[0;1]} |2^x \ln 2 + 0.2|$. Тогда получаем $\varphi(x) = x - \frac{2}{5}(2^x + 0.2x - 2) \Rightarrow$

$$x_0, x_{n+1} = \frac{4}{5} - \frac{2}{5} 2^{x_n} + \frac{23}{25} x_n, \quad n = 0.1 \dots N, \quad |x_{N+1} - x_N| < \frac{7}{18} \varepsilon \approx 0.3888 \cdot 10^{-4},$$

здесь $\max_{[0;1]} |\varphi'(x)| < 18/25 = q \Rightarrow \frac{1-q}{q} = \frac{7}{18}$. Результат расчета: $x_0 = 0, x_1 = 0.4, x_2 = 0.6402, x_3 = 0.7656, x_4 = 0.8243, x_5 = 0.8501, x_6 = 0.8610, x_7 = 0.8556, x_8 = 0.8675, x_9 = 0.8683, x_{10} = 0.8686, x_{11} = 0.8688, x_{12} = 0.8688, x_{13} = 0.8689, x_{14} = 0.8689 \dots$ Получили найденный ранее ответ.

Для функций, не имеющих непрерывной первой производной, в качестве достаточного условия сходимости алгоритма вместо условия $|\varphi'(x)| \leq q < 1$ можно использовать условие Липшица: $|\varphi(x_1) - \varphi(x_2)| < q|x_1 - x_2|$, где $q = \text{const} < 1$.

Упражнение № II.1

Показать, что для следующих отображений:

- $\varphi(x) = 2 - \frac{\log_2 x}{5}$ является сжимающим на отрезке $[1, 2]$;
- $\varphi(x) = \frac{4}{5} - \frac{2}{5}2^x + \frac{23}{25}x$ является сжимающим на $[0, 1]$ и $M_1^\varphi < \frac{18}{25}$.

4 Метод деления отрезка пополам (метод половинного деления)

Следующий метод использует минимальную (по сравнению с другими методами) информацию о свойствах функции $f(x)$. Мы знаем лишь то, что функция обладает единственным корнем на отрезке $[a, b]$ и этот корень нечетной кратности (т.е. знаки функции различны на отрезках справа и слева от корня). Тогда мы можем последовательно делить отрезки пополам и выбирать ту половинку, которая содержит корень.

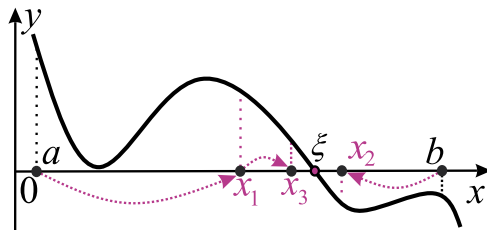


Рис. II.6. Метод половинного деления

После n делений мы гарантируем, что искомый корень находится внутри отрезка с длиной $\frac{b-a}{2^n}$, а значит искомая точность будет достигнута, когда эта длина станет меньше чем ε . Отсюда легко получаем значение параметра n : $n = \left\lceil \log_2 \frac{b-a}{\varepsilon} \right\rceil + 1$. Приведем запись алгоритма половинного деления на псевдокоде и на языке Си:

Алгоритм II.1. Метод половинного деления

Вход: функция $f(x)$; отрезок локализации корня $[a, b]$; точность ε ; невязка e .

Выход: приближенное значение корня ξ^* .

```

1   $n = \left\lceil \log_2 \frac{b-a}{\varepsilon} \right\rceil + 1$  /*  $\leftarrow \frac{b-a}{2^n} \leq \varepsilon$ ,  $[\cdot]$  - целая часть числа */
2  для всех  $i = 1, 2, \dots, n$  начало цикла
3       $\xi^* = \frac{a+b}{2}$ 
4      если  $|f(\xi^*)| \leq e$  то конец цикла
5      если  $f(\xi^*)$  и  $f(a)$  разных знаков то
6           $b \leftarrow \xi^*$  /* (сделать  $\xi^*$  новой правой границей) */
7      иначе
8           $a \leftarrow \xi^*$  /* (сделать  $\xi^*$  новой левой границей) */
9      конец если
10  конец цикла
11  возврат  $\xi^*$ 
```

Определение П.4: Псевдокод - язык описания алгоритмов

Псевдокод — компактный, зачастую неформальный язык описания алгоритмов, использующий ключевые слова языков программирования, но опускающий несущественные для понимания алгоритма подробности и специфический синтаксис. Предназначен для представления алгоритма человеку, а не для компьютерной трансляции и последующего исполнения программы.

Существуют различные варианты псевдокода, многие из которых используют конструкции естественных языков.

```

1 // Метод деления отрезка пополам
2 #include <iostream> // Стандартная библиотека ввода-вывода
3 #include <math.h> // Библиотека стандартных математических функций
4 #include <fstream> // Библиотека функций для работы с потоками (файлами)
5 using namespace std;
6 #define eps 0.0001 // Требуемая точность вычисления ε
7 #define e 0.00005 // Минимальное значение невязки e
8 double f(double x){
9     return pow(x, 3.) - x - 5.;} // Функция  $f(x) = x^3 - x - 5$ 
10 int main(){
11     double a = 1., b = 2., ksi; // Концы отрезка и искомый корень
12     int n, i; // Число витков цикла n, счетчик i
13     ofstream fout; // Открываем поток
14     fout.open("onehalf.txt"); // Связываем поток с файлом
15
16     n = int(log((b - a) / eps) / log(2)) + 1; //  $n = \left\lceil \log_2 \frac{b-a}{\varepsilon} \right\rceil + 1$ 
17     ksi = (a + b) / 2.; // Вычисляем середину начального отрезка
18     for (i = 1; i <= n && fabs(f(ksi)) >= e; i++){
19         if (f(ksi) * f(a) < 0) b = ksi;
20         else a = ksi;
21         /* Вывод результатов на консоль */
22         cout << "i = " << i << " [a,b]=[ " << a << ", " << b << "]" << endl;
23         /* Вывод результатов в файл */
24         fout << "i = " << i << " [a,b]=[ " << a << ", " << b << "]" << endl;
25         ksi = (a + b) / 2.; // Вычисляем середину нового отрезка
26     }
27     cout << "ksi = " << ksi << endl;
28     fout << "ksi = " << ksi << endl;
29     fout.close(); // Закрываем поток
30     return 0;
31 }
32 /*Результаты работы программы:
33 i = 1 [a,b]=[1.5, 2]
34 i = 2 [a,b]=[1.75, 2]
```

```

35 i = 3 [a,b]=[1.875, 2]
36 i = 4 [a,b]=[1.875, 1.9375]
37 i = 5 [a,b]=[1.875, 1.90625]
38 i = 6 [a,b]=[1.89062, 1.90625]
39 i = 7 [a,b]=[1.89844, 1.90625]
40 i = 8 [a,b]=[1.90234, 1.90625]
41 i = 9 [a,b]=[1.90234, 1.9043]
42 i = 10 [a,b]=[1.90332, 1.9043]
43 i = 11 [a,b]=[1.90381, 1.9043]
44 i = 12 [a,b]=[1.90405, 1.9043]
45 i = 13 [a,b]=[1.90405, 1.90417]
46 i = 14 [a,b]=[1.90411, 1.90417]
47 ksi = 1.90414*/

```

Листинг II.1. Метод половинного деления

Упражнение № II.2

Методом половинного деления найти корень уравнения $2^x + 5x - 2 = 0$ на отрезке $[0, 1]$ с точностью $\varepsilon = 10^{-4}$.

5 Анализ эффективности итерационных методов**5.1 Скорость сходимости. Порядок сходимости.**

Обозначим n -ую погрешность корня ξ уравнения $f(x) = 0$ как $\varepsilon_n = x_n - \xi$ и сформулируем несколько определений и утверждений.

Определение II.5: Порядок и скорость сходимости итерационного метода

- **Порядком сходимости итерационного метода** называется число $p \geq 1$, для которого неравенство $|\varepsilon_{n+1}| \leq C|\varepsilon_n|^p$ ($C < 1$) выполнено во всей области сходимости.
- В частности $p = 1$ соответствует **линейной скорости сходимости**, $p = 2$ — **квадратичной скорости сходимости**, $p = 3$ — **кубической скорости сходимости** и т. д.
- **Сходимость итерационного метода со скоростью геометрической прогрессии** со знаменателем $0 < q < 1$ определяется неравенством $|\varepsilon_n| \leq Bq^n$.

Лемма II.3: О связи между порядком и скоростью сходимости [2]

Методы **первого порядка сходимости** $p = 1$ (с линейной скоростью сходимости) сходятся со скоростью геометрической прогрессии: $|\varepsilon_n| \leq |\varepsilon_0| \cdot C^n$.

Методы **порядка сходимости** $p > 1$ сходятся со скоростью показательной функции с основанием $q = C^{1/(p-1)}|\varepsilon_0|$ и показателем p^n : $|\varepsilon_n| \leq C^{1/(1-p)} \cdot q^{p^n}$.

Для $p = 1$: $|\varepsilon_n| \leq C|\varepsilon_{n-1}| \leq C^2|\varepsilon_{n-2}| \leq \dots \leq C^n|\varepsilon_0| \Rightarrow \boxed{q = C < 1, B = |\varepsilon_0|}$.

Для $p > 1$: $|\varepsilon_n| \leq C|\varepsilon_{n-1}|^p \leq C(C|\varepsilon_{n-2}|^p)^p = C^{(1+p)}|\varepsilon_{n-2}|^{p^2} \leq$

$$\leq C^{(1+p)} (C |\varepsilon_{n-3}|^p)^{p^2} \leq C^{(1+p+p^2)} (C |\varepsilon_{n-4}|^p)^{p^3} \leq \dots \leq C^{(1+p+p^2+\dots+p^{n-1})} |\varepsilon_0|^{p^n} =$$

$$= C^{\frac{p^n-1}{p-1}} |\varepsilon_0|^{p^n} = C^{1/(1-p)} |C^{1/(p-1)} \varepsilon_0|^{p^n} \Rightarrow \boxed{q = C^{1/(p-1)} |\varepsilon_0|}.$$

Теорема II.4: О скорости сходимости четырех методов

Методы половинного деления, простой итерации и хорд имеют первый порядок сходимости ($p = 1$). Для метода Ньютона в случае простого корня выполнено $p = 2$ (**сверхлинейная сходимость, квадратичная сходимость**).

Доказательство теоремы начнем с метода половинного деления. Поскольку на каждом шаге итерации длина отрезка локализации корня уменьшается в два раза, то очевидно получаем $|\varepsilon_n| \leq (b-a)2^{-n} \Rightarrow \boxed{p = 1, B = b-a, q = 1/2}.$

Также утверждение теоремы очевидно для метода простой итерации:

$$|\varepsilon_{n+1}| = |\varphi(x_n) - \varphi(\xi)| \leq \max_{[a,b]} |\varphi'(x)| \cdot |\varepsilon_n| \Rightarrow \boxed{p = 1, C = \max_{[a,b]} |\varphi'(x)|}.$$

Далее, в неравенстве (II.8) перейдем к пределу при $k \rightarrow \infty$ и получим

$$|\varepsilon_n| \equiv |\xi - x_n| \leq \frac{|x_1 - x_0|}{1-C} C^n \Rightarrow \boxed{q = C, B = \frac{|x_1 - x_0|}{1-C}}.$$

Теорему для *метода хорд* докажем в случае (II.2), установив двойное неравенство:

$$x_n - \xi > x_n - x_{n+1} = \frac{f(x_n) - f(\xi)}{f(x_n) - f(a)} (x_n - a) \geq \frac{m_1(x_n - \xi)}{M_1(x_n - a)} (x_n - a) = \frac{m_1}{M_1} (x_n - \xi) \Leftrightarrow$$

$$\Leftrightarrow -1 < -\frac{x_n - x_{n+1}}{x_n - \xi} \leq -\frac{m_1}{M_1} \Leftrightarrow 0 < 1 - \frac{x_n - x_{n+1}}{x_n - \xi} \leq 1 - \frac{m_1}{M_1}.$$

Учитывая подобие треугольников с вершинами $((a, f(a)), (x_n, f(x_n)), (x_n, f(a)))$ и $((x_{n+1}, 0), (x_n, f(x_n)), (x_n, 0))$, а также доказанное выше неравенство, получаем

$$\varepsilon_{n+1} = \varepsilon_n - \frac{f(x_n)}{f(x_n) - f(a)} (x_n - a) = \varepsilon_n - \frac{f(x_n)/(x_n - \xi)}{(f(x_n) - f(a))/(x_n - a)} (x_n - \xi) = \varepsilon_n -$$

$$- \frac{f(x_n)/(x_n - \xi)}{f(x_n)/(x_n - x_{n+1})} \varepsilon_n = \left(1 - \frac{x_n - x_{n+1}}{x_n - \xi}\right) \varepsilon_n \leq \left(1 - \frac{m_1}{M_1}\right) \varepsilon_n \Rightarrow \boxed{p = 1, C = 1 - \frac{m_1}{M_1}}.$$

Известно, что метод Ньютона особенно эффективен в малой окрестности корня. Поэтому проверим теорему для случая $|\varepsilon_n| \ll 1$. Используем константы $M_2 \equiv \max_{[a,b]} |f''(x)|$, $m_1 \equiv \min_{[a,b]} |f'(x)|$, и первые слагаемые рядов Тейлора в окрестности корня ξ ($f(\xi) = 0$) для функции $f(x)$ и для функции $f'(x)$:

$$\varepsilon_{n+1} = \varepsilon_n - \frac{f(x_n)}{f'(x_n)} = \varepsilon_n - \frac{f(\xi + \varepsilon_n)}{f'(\xi + \varepsilon_n)} = \varepsilon_n - \frac{\varepsilon_n f'(\xi) + 1/2 \varepsilon_n^2 f''(\xi) + O(\varepsilon_n^3)}{f'(\xi) + \varepsilon_n f''(\xi) + O(\varepsilon_n^2)} =$$

$$= \frac{1/2\varepsilon_n^2 f''(\xi) + O(\varepsilon_n^3)}{f'(\xi) + O(\varepsilon_n)} = \frac{1/2 f''(\xi) + O(\varepsilon_n)}{f'(\xi) + O(\varepsilon_n)} \varepsilon_n^2 \Rightarrow |\varepsilon_n| \leq \frac{M_2}{2m_1} \varepsilon_n^2.$$

Если $C < 1$, то: $p = 2, C = \frac{M_2}{2m_1}, q = C^{1/(p-1)}|\varepsilon_0| = \frac{M_2}{2m_1}|\varepsilon_0|, |\varepsilon_n| \leq C^{-1}q^{2^n}.$ ▲

5.2 Метод Ньютона для случая кратных корней

Покажем, что метод II.2 в случае кратного корня является методом первого порядка ($p = 1$). Действительно, если $f'(\xi) = f(\xi) = 0$, то

$$\begin{aligned} \begin{cases} f(x_n) = \frac{\varepsilon_n^2}{2} f''(\xi) + o(\varepsilon_n^3), \\ f'(x_n) = \varepsilon_n f''(\xi) + o(\varepsilon_n). \end{cases} &\Rightarrow \varepsilon_{n+1} = \varepsilon_n - \frac{f(x_n)}{f'(x_n)} = \varepsilon_n - \frac{\varepsilon_n^2 f''(\xi)/2 + o(\varepsilon_n^2)}{\varepsilon_n f''(\xi) + o(\varepsilon_n)} = \\ &= \frac{\varepsilon_n^2 f''(\xi)/2 + o(\varepsilon_n^2)}{\varepsilon_n f''(\xi) + o(\varepsilon_n)} = \frac{\varepsilon_n f''(\xi) + o(1)}{2 f''(\xi) + o(1)} \Rightarrow |\varepsilon_{n+1}| = \frac{|\varepsilon_n| |f''(\xi) + o(1)|}{2 |f''(\xi) + o(1)|} \leq \\ &\leq \frac{|\varepsilon_n| |f''(\xi)| + |o(1)|}{2 |f''(\xi)| - |o(1)|} \approx \frac{|\varepsilon_n|}{2} \Rightarrow |\varepsilon_{n+1}| \leq \frac{1}{2} |\varepsilon_n| : \quad p = 1, C = \frac{1}{2} = q, B = |\varepsilon_0|. \end{aligned}$$

Теперь сделаем предположение, что с помощью выбора *неопределенного множителя* λ в формуле $x_{n+1} = x_n - \lambda \cdot f(x_n)/f'(x_n)$ возможно повысить порядок метода p , если известна кратность корня k : $f(\xi) = f'(\xi) = \dots = f^{(k-1)}(\xi) = 0, f^{(k)}(\xi) \neq 0$. Для удобства введем обозначения $A_k = f^{(k)}(\xi)/k! \neq 0$ и по Тейлору получим:

$$\begin{aligned} \begin{cases} f(x_n) = \frac{\varepsilon_n^k}{k!} f^{(k)}(\xi) + \frac{\varepsilon_n^{k+1}}{(k+1)!} f^{(k+1)}(\xi) + o(\varepsilon_n^{k+1}) \equiv A_k \varepsilon_n^k + A_{k+1} \varepsilon_n^{k+1} + o(\varepsilon_n^{k+1}), \\ f'(x_n) = \frac{\varepsilon_n^{k-1}}{(k-1)!} f^{(k)}(\xi) + \frac{\varepsilon_n^k}{k!} f^{(k+1)}(\xi) + o(\varepsilon_n^k) \equiv k A_k \varepsilon_n^{k-1} + (k+1) A_{k+1} \varepsilon_n^k + o(\varepsilon_n^k). \end{cases} \\ \varepsilon_{n+1} = \varepsilon_n - \lambda \frac{A_k \varepsilon_n^k + A_{k+1} \varepsilon_n^{k+1} + o(\varepsilon_n^{k+1})}{k A_k \varepsilon_n^{k-1} + (k+1) A_{k+1} \varepsilon_n^k + o(\varepsilon_n^k)} = \\ = \frac{\overbrace{(k-\lambda)}^{=0} A_k \varepsilon_n^k + (k+1-\lambda) A_{k+1} \varepsilon_n^{k+1} + o(\varepsilon_n^{k+1})}{k A_k \varepsilon_n^{k-1} + (k+1) A_{k+1} \varepsilon_n^k + o(\varepsilon_n^k)} = \frac{A_{k+1} \varepsilon_n^{k+1} + o(\varepsilon_n^{k+1})}{k A_k \varepsilon_n^{k-1} + o(\varepsilon_n^{k-1})} = \\ = \varepsilon_n^2 \frac{A_{k+1} + o(1)}{k A_k + o(1)} \Rightarrow |\varepsilon_{n+1}| \leq \varepsilon_n^2 \frac{|A_{k+1}| + |o(1)|}{|k A_k| - |o(1)|} \approx \varepsilon_n^2 \frac{|f^{(k+1)}(\xi)|(k-1)!}{(k+1)! |f^{(k)}(\xi)|} \Rightarrow \\ |\varepsilon_{n+1}| \leq \frac{M_{k+1}}{k(k+1)m_k} \varepsilon_n^2 \Rightarrow \lambda = k, p = 2, C = \frac{M_{k+1}}{k(k+1)m_k}, M_{k+1} = \max_{[a,b]} |f^{(k+1)}(x)| \end{aligned}$$

Определим критерий достижений заданной точности вычислений $|\varepsilon_n| = |x_n - \xi| < \varepsilon$ при условии, что все вычисления проводятся вблизи искомого корня ξ : $|\varepsilon_n| \ll 1$.

$$\begin{aligned} |x_{n+1} - x_n| &= |x_{n+1} - \xi - (x_n - \xi)| = |\varepsilon_{n+1} - \varepsilon_n| = \left| k \frac{f(x_n)}{f'(x_n)} \right| = \\ &= k \frac{|A_k \varepsilon_n^k + o(\varepsilon_n^k)|}{|k A_k \varepsilon_n^{k-1} + o(\varepsilon_n^{k-1})|} = |\varepsilon_n| \frac{|1 + o(1)|}{|1 + o(1)|} = |\varepsilon_n| \frac{1 + o(1)}{1 + o(1)} \approx |\varepsilon_n|. \end{aligned}$$

Таким образом, вблизи корня (а именно тогда метод Ньютона особенно эффективен) проверку погрешности $|\varepsilon_n|$ можно заменить проверкой величины $|x_{n+1} - x_n|$.

Определение П.6: Метод Ньютона вычисления корня кратности $k > 1$

$$x_0, x_{n+1} = x_n - k \frac{f(x_n)}{f'(x_n)}, \quad n = 0, 1 \dots N, \quad |\varepsilon_{N+1}| \approx |x_{N+1} - x_N| < \varepsilon.$$

5.3 Ускорение итерационных алгоритмов с помощью процесса Эткена

Ускорить медленно сходящиеся итерационные алгоритмы можно с помощью *процесса Эткена*, при построении которого используются несколько (больше двух) соседних элементов последовательности. Для простой итерации запишем асимптотики:

$$\begin{aligned} |\varepsilon_n| \leq Bq^n \Rightarrow \varepsilon_{n-1} \sim Bq^{n-1}, \quad \varepsilon_n \sim Bq^n, \quad \varepsilon_{n+1} \sim Bq^{n+1} &\Rightarrow \frac{\varepsilon_n}{\varepsilon_{n-1}} \sim q \sim \frac{\varepsilon_{n+1}}{\varepsilon_n} \Rightarrow \\ \Rightarrow \frac{\varepsilon_n}{\varepsilon_{n-1}} \approx \frac{\varepsilon_{n+1}}{\varepsilon_n} &\Leftrightarrow \frac{x_n - \xi}{x_{n-1} - \xi} \approx \frac{x_{n+1} - \xi}{x_n - \xi} \Rightarrow \xi \approx \frac{x_{n-1}x_{n+1} - x_n^2}{x_{n-1} - 2x_n + x_{n+1}}. \end{aligned}$$

Эту формулу используем для *уточнения* приближения x_{n+1} и получаем алгоритм

Определение П.7: Процесс Эткена для метода простой итерации

$$x_0, x_1 = \varphi(x_0), n = 1 \dots N: x_{n+\frac{1}{2}} = \varphi(x_n), x_{n+1} = \frac{x_{n-1}x_{n+1/2} - x_n^2}{x_{n-1} - 2x_n + x_{n+1/2}}, |x_{n+1} - x_n| < \varepsilon$$

Можно доказать, что процесс Эткена имеет второй порядок сходимости: $p = 2$. Сформулируем общее правило численного решения алгебраических уравнений:

Правило: порядок действий при численном решении нелинейных уравнений

- Используя свойства функции $f(x)$, аналитическими методами локализуем корень.
- Методом половинного деления уменьшаем отрезок локализации корня.
- Аналитически доказываем достаточные условия применимости высокоскоростных методов. Или сразу переходим к следующему пункту.
- Достигаем требуемой точности $|\xi^* - \xi| < \varepsilon$ с помощью высокоскоростных численных методов (метод Ньютона, метод Эткена или какой-нибудь другой метод).
- Анализируем полученные результаты (число шагов итерации, невязку $f(\xi^*)$ и др.)

6 Методы решения систем алгебраических уравнений (САУ)

Рассмотрим $\vec{f}(\vec{x}) \equiv (f_1(x_1, x_2 \dots x_K), f_2(x_1, x_2 \dots x_K) \dots f_K(x_1, x_2 \dots x_K))^T$ — вектор-функцию, составленную из K функций от K аргументов. Тогда $\vec{f}(\vec{x}) = \vec{0}$ является системой нелинейных уравнений относительно K неизвестных $(x_1, x_2 \dots x_K)^T$. Обозначим через $\vec{\xi} \equiv (\xi_1, \xi_2 \dots \xi_K)^T$ вектор-корень системы: $\vec{f}(\vec{\xi}) = \vec{0}$.

В большинстве случаев корень вычисляется только приближенно (численно). Для системы двух нелинейных уравнений первоначальную локализацию корня можно найти через пересечение графиков функций $f_1(x_1, x_2) = 0$ и $f_2(x_1, x_2) = 0$. Затем приближение корня с заданной точностью вычисляют каким-либо итерационным методом. Для дальнейшего анализа определим понятия **векторной нормы** и **матричной нормы**:

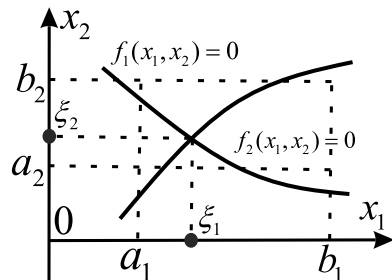


Рис. П.7. Локализация корня системы двух нелинейных уравнений

$$\|\vec{x}\| = \max_{1 \leq i \leq K} |x_i|, \quad \|A\| = \max_{1 \leq i \leq K} \sum_{j=1}^K |A_{ij}|. \quad (\text{П.11})$$

Примеры. $\|(3, -5)\| = \max\{|3|; |-5|\} = 5$; $\left\|\begin{pmatrix} 1 & -2 \\ 3 & -4 \end{pmatrix}\right\| = \max\{1+2; 3+4\} = 7$.

Общие определения векторных, матричных и функциональных норм будут рассмотрены в следующей главе.

Определение П.8: Число обусловленности μ_A невырожденной матрицы A

$$\text{If } \exists A^{-1} \text{ then } \mu_A \equiv \|A\| \cdot \|A^{-1}\|$$

Определение П.9: Сходимость последовательности векторов по норме

$$\exists \lim_{n \rightarrow \infty} \vec{x}^n = \vec{\xi} \Leftrightarrow \exists \lim_{n \rightarrow \infty} (\vec{x}^n - \vec{\xi}) = \vec{0} \Leftrightarrow \exists \lim_{n \rightarrow \infty} \|\vec{x}^n - \vec{\xi}\| = 0$$

Сформулируем простые, но важные свойства норм в форме упражнения:

Упражнение № П.3

Доказать, что для векторной и матричной норм, определенных равенствами (П.11), выполнены следующие неравенства для любого K -мерного вектора \vec{x} и любой квадратной матрицы A размерности $K \times K$:

- Признак векторной нормы: $\|\vec{x}\| > 0 \Leftrightarrow \vec{x} \neq \vec{0}, \|\vec{0}\| = 0$, $\|\alpha \vec{x}\| = |\alpha| \|\vec{x}\|, \forall \alpha \in \mathbb{R}$, $\|\vec{x} + \vec{y}\| \leq \|\vec{x}\| + \|\vec{y}\|$;
- Признак матричной нормы: $\|A\| > 0 \Leftrightarrow A \neq 0, \|0\| = 0$, $\|\alpha A\| = |\alpha| \|A\|, \forall \alpha \in \mathbb{R}$, $\|A + B\| \leq \|A\| + \|B\|$, $\|A \cdot B\| \leq \|A\| \cdot \|B\|$;
- $\|A \cdot \vec{x}\| \leq \|A\| \|\vec{x}\|$; $\|I\| = 1$, где I — единичная матрица;
- Если матрица A — невырождена, то: $\mu_A \geq 1$, $\|A^{-1} \cdot \vec{x}\| \geq \|A\|^{-1} \|\vec{x}\|$;

6.1 Метод простых итераций и метод Зейделя для нелинейных САУ

Уравнение $\vec{f}(\vec{x}) = \vec{0}$ заменяем эквивалентным уравнением $\vec{\varphi}(\vec{x}) = \vec{x}$, т.е. выполнено $\vec{f}(\vec{\xi}) = \vec{0} \Leftrightarrow \vec{\varphi}(\vec{\xi}) = \vec{\xi}$. Например, можно выбрать $\vec{\varphi}(\vec{x}) = \vec{x} + \vec{f}(\vec{x})$. Пусть областью локализации корня $\vec{\xi}$ является K -мерный сегмент и на нем выбран начальный вектор $\vec{x}^0 = (x_1^0, x_2^0, \dots, x_K^0)$: $\vec{\xi}, \vec{x}^0 \in [\vec{a}, \vec{b}] \equiv [a_1, b_1] \times [a_2, b_2] \times \dots \times [a_K, b_K]$. Тогда

Определение II.10: Метод простой итерации для нелинейных САУ

$$\vec{x}^0 = (x_1^0, x_2^0, \dots, x_K^0)^T, \quad \vec{x}^{n+1} = \vec{\varphi}(\vec{x}^n), \quad n = 0, \dots, N, \quad \|\vec{x}^{N+1} - \vec{x}^N\| < \frac{1-q}{q} \varepsilon,$$

$$\max_{\vec{x} \in [\vec{a}, \vec{b}]} \|\mathfrak{D}_{\vec{\varphi}}(\vec{x})\| \leq q < 1, \quad \mathfrak{D}_{\vec{\varphi}}(\vec{x}) \equiv \left(\frac{\partial \varphi_i}{\partial x_j} \right)_{i,j=1 \dots K}.$$

Для обоснования введем вектор приращений $\vec{h}^n \equiv \vec{x}^{n+1} - \vec{x}^n = (h_1^n, h_1^n \dots h_K^n)$ и вспомогательную гладкую вектор-функцию скалярного аргумента $\vec{\Phi}(t) \equiv \vec{\varphi}(\vec{x}^n + t\vec{h}^n)$:

$$\varphi_i(\vec{x}^{n+1}) - \varphi_i(\vec{x}^n) = \Phi_i(1) - \Phi_i(0) = \Phi_i'(\vec{x}^n + \tau \vec{h}^n) = \sum_{j=1}^K h_j^n \frac{\partial \varphi_i}{\partial x_j} \Big|_{\vec{x}^n + \tau \vec{h}^n}, \quad 0 < \tau < 1, \quad i = 1 \dots K.$$

$$\|\vec{\varphi}(\vec{x}^{n+1}) - \vec{\varphi}(\vec{x}^n)\| = \left\| \left(\frac{\partial \varphi_i}{\partial x_j} \right)_{\vec{x}^n + \tau \vec{h}^n} \cdot \vec{h}^n \right\| \leq \max_{\vec{x} \in [\vec{a}, \vec{b}]} \|\mathfrak{D}_{\vec{\varphi}}(\vec{x})\| \|\vec{h}^n\| \leq q \|\vec{x}^{n+1} - \vec{x}^n\| =$$

$$= q \|\vec{\varphi}(\vec{x}^n) - \vec{\varphi}(\vec{x}^{n-1})\| \leq q^2 \|\vec{x}^{n-1} - \vec{x}^{n-2}\| \dots \leq q^n \|\vec{x}^1 - \vec{x}^0\| \equiv q^n \|\vec{h}^0\|.$$

$$\begin{aligned} \|\vec{x}^{n+k} - \vec{x}^n\| &= \|(\vec{x}^{n+k} - \vec{x}^{n+k-1}) + (\vec{x}^{n+k-1} - \vec{x}^{n+k-2}) + \dots + (\vec{x}^{n+1} - \vec{x}^n)\| \leq \\ &\leq \|\vec{x}^{n+k} - \vec{x}^{n+k-1}\| + \|\vec{x}^{n+k-1} - \vec{x}^{n+k-2}\| + \dots + \|\vec{x}^{n+1} - \vec{x}^n\| \leq \\ &\leq q^{n+k-1} \|\vec{h}^0\| + q^{n+k-2} \|\vec{h}^0\| + \dots + q^n \|\vec{h}^0\| = (q^{n+k-1} + \dots + q^n) \|\vec{h}^0\| \leq \frac{q^n}{1-q} \|\vec{h}^0\|. \end{aligned}$$

Установим критерий достижения заданной точности $\|\vec{x}^{N+1} - \vec{\xi}\| < \varepsilon$ (как в (II.9)):

$$\begin{aligned} \|\vec{x}^{n+1} - \vec{x}^n\| &= \|(\vec{x}^{n+1} - \vec{\xi}) - (\vec{x}^n - \vec{\xi})\| \geq \|\vec{x}^n - \vec{\xi}\| - \|\vec{x}^{n+1} - \vec{\xi}\| = \|\vec{x}^n - \vec{\xi}\| - \\ &- \|\vec{\varphi}(\vec{x}^n) - \vec{\varphi}(\vec{\xi})\| \geq \|\vec{x}^n - \vec{\xi}\| - q \|\vec{x}^n - \vec{\xi}\| = (1-q) \|\vec{x}^n - \vec{\xi}\| \geq \\ &\geq (1-q) \frac{1}{q} \|\vec{\varphi}(\vec{x}^n) - \vec{\varphi}(\vec{\xi})\| = \frac{1-q}{q} \|\vec{x}^{n+1} - \vec{\xi}\| \Rightarrow \|\vec{x}^{n+1} - \vec{\xi}\| \leq \frac{q}{1-q} \|\vec{x}^{n+1} - \vec{x}^n\| \end{aligned}$$

Определение II.11: Метод Зейделя для нелинейных алгебраических систем

$$x_1^{n+1} = \varphi_1(\vec{x}^n), \quad x_2^{n+1} = \varphi_2(x_1^{n+1}, x_2^n, \dots, x_K^n), \dots, x_K^{n+1} = \varphi_K(x_1^{n+1}, x_2^{n+1}, \dots, x_{K-1}^{n+1}, x_K^n),$$

$$\vec{x}^0 = (x_1^0, x_2^0, \dots, x_K^0)^T, \quad n = 0, \dots, N, \quad \|\vec{x}^{N+1} - \vec{x}^N\| < \varepsilon.$$

Пример II.5 (Метод простых итераций и метод Зейделя [3]).

$$\begin{cases} f(x, y) \equiv \sin(x - 0.6) - 2y - 1.6 = 0 \\ g(x, y) \equiv 3x - \cos y - 0.9 = 0 \end{cases} \Leftrightarrow \begin{cases} x = \frac{\cos y}{3} + 0.3 \equiv \varphi(x, y) \\ y = \frac{\sin(x - 0.6)}{2} - 0.8 \equiv \psi(x, y) \end{cases}$$

Графически локализуем и определим решение системы. Примем $x^0 = 0.4$, $y^0 = -1.3$. Найдём норму матрицы Якоби:

$$\mathfrak{D}(x, y) = \begin{pmatrix} \frac{\partial \varphi}{\partial x} & \frac{\partial \varphi}{\partial y} \\ \frac{\partial \psi}{\partial x} & \frac{\partial \psi}{\partial y} \end{pmatrix} = \begin{pmatrix} 0 & -\frac{\sin y}{3} \\ \frac{\cos(x - 0.6)}{2} & 0 \end{pmatrix}.$$

$$\text{Тогда } \|\mathfrak{D}\| = \max \left\{ \frac{|\cos(x - 0.6)|}{2}, \frac{|\sin y|}{3} \right\} \leq \frac{1}{2} \equiv q.$$

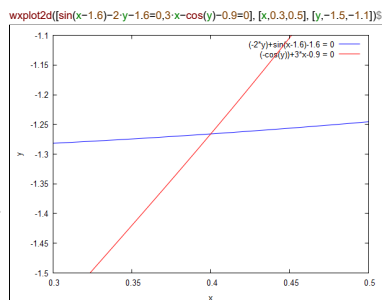


Рис. II.8. Локализация корня в программе wxMAXIMA.

Ниже в таблице представлены результаты расчетов методом простой итерации и методом Зейделя для $\varepsilon = 10^{-3}$:

n	Метод простой итерации			Метод Зейделя		
	x^{n+1}	y^{n+1}	$\ \vec{x}^{n+1} - \vec{x}^n\ $	x^{n+1}	y^{n+1}	$\ \vec{x}^{n+1} - \vec{x}^n\ $
0	0.3892	-0.8993	0.4007	0.3892	-0.9046	0.3954
1	0.5074	-0.9046	0.1182	0.5060	-0.8469	0.1168
2	0.5060	-0.8462	0.0584	0.5208	-0.8396	0.0148
3	0.5209	-0.8469	0.0149	0.5226	-0.8387	0.0018
4	0.5208	-0.8395	0.0074	0.523	-0.839	0.0002
5	0.5226	-0.8396	0.0019			
6	0.523	-0.839	0.0009			

6.2 Метод Ньютона для нелинейных САУ

Определение II.12: Метод Ньютона для нелинейных САУ

$$\vec{x}^0 = (x_1^0, x_2^0, \dots, x_K^0)^T, \quad \vec{x}^{n+1} = \vec{x}^n - \mathfrak{D}_{\vec{f}}^{-1}(\vec{x}^n) \cdot \vec{f}(\vec{x}^n), \quad n = 0, \dots, N,$$

$$\|\vec{x}^{N+1} - \vec{x}^N\| < \frac{\varepsilon}{\mu}, \quad \mu \geq \max_{\vec{x} \in [\vec{a}, \vec{b}]} \|\mathfrak{D}_{\vec{f}}(\vec{x})\| \max_{\vec{x} \in [\vec{a}, \vec{b}]} \|\mathfrak{D}_{\vec{f}}^{-1}(\vec{x})\|, \quad \mathfrak{D}_{\vec{f}}(\vec{x}) \equiv \left(\frac{\partial f_i}{\partial x_j} \right)_{i,j=1 \dots K}.$$

Запишем это определение в развернутом виде:

$$\begin{pmatrix} x_1^{n+1} \\ x_2^{n+1} \\ \vdots \\ x_K^{n+1} \end{pmatrix} = \begin{pmatrix} x_1^n \\ x_2^n \\ \vdots \\ x_K^n \end{pmatrix} - \begin{pmatrix} \frac{\partial f_1}{\partial x_1} & \cdots & \frac{\partial f_1}{\partial x_K} \\ \vdots & \ddots & \vdots \\ \frac{\partial f_K}{\partial x_1} & \cdots & \frac{\partial f_K}{\partial x_K} \end{pmatrix}^{-1} \bigg|_{\vec{x}^n} \cdot \begin{pmatrix} f_1(x_1^n, x_2^n, \dots, x_K^n) \\ f_2(x_1^n, x_2^n, \dots, x_K^n) \\ \vdots \\ f_K(x_1^n, x_2^n, \dots, x_K^n) \end{pmatrix},$$

$$\vec{x}^0 = (x_1^0, x_2^0, \dots, x_K^0), \quad n = 0, 1 \dots N, \quad \|\vec{x}^{N+1} - \vec{x}^N\| < \mu^{-1} \varepsilon.$$

Для обоснования метода Ньютона используем вектор приращений $\vec{h}^n = \vec{x}^{n+1} - \vec{x}^n$ и вспомогательную гладкую вектор-функцию $\vec{H}(t) \equiv \vec{f}(\vec{x}^n + t\vec{h}^n)$ вещественного аргумента $t \in [0, 1]$. Выпишем первые слагаемые ряда Тейлора:

$$\begin{aligned} \vec{f}(\vec{x}^{n+1}) &\equiv \vec{H}(1) = \vec{H}(0) + \frac{d\vec{H}}{dt} \bigg|_{t=0} \cdot 1 + \vec{o}(\|\vec{h}^n\|) = \vec{H}(0) + \left(\frac{\partial f_i(\vec{x})}{\partial x_j} \right)_{t=0} \cdot \vec{h}^n + \vec{o}(\|\vec{h}^n\|) = \\ &= \vec{f}(\vec{x}^n) + \left(\frac{\partial f_i(\vec{x})}{\partial x_j} \right)_{\vec{x}^n} \cdot \vec{h}^n + \vec{o}(\|\vec{h}^n\|) = \vec{f}(\vec{x}^n) + \mathfrak{D}_{\vec{f}}(\vec{x}^n) \cdot \vec{h}^n + \vec{o}(\|\vec{h}^n\|) \Rightarrow \\ \vec{f}(\vec{x}^{n+1}) &\approx \vec{f}(\vec{x}^n) + \mathfrak{D}_{\vec{f}}(\vec{x}^n) \cdot (\vec{x}^{n+1} - \vec{x}^n) = \vec{0} \Rightarrow \vec{x}^{n+1} = \vec{x}^n - \mathfrak{D}_{\vec{f}}^{-1}(\vec{x}^n) \cdot \vec{f}(\vec{x}^n). \end{aligned}$$

Критерий сходимости метода получим с помощью неравенств из упражнения П.3. Используем вспомогательную функцию $\vec{E}(t) \equiv \vec{f}(\vec{\xi} + t\vec{\varepsilon}^n)$, $\vec{\varepsilon}^n = \vec{x}^n - \vec{\xi}$:

$$\begin{aligned} \|\vec{f}(\vec{x}^n) - \vec{f}(\vec{\xi})\| &= \|\vec{E}(1) - \vec{E}(0)\| = \|\vec{E}'(\tau) \cdot 1\| = \|\mathfrak{D}_{\vec{f}}(\vec{\xi} + \tau\vec{\varepsilon}^n) \cdot \vec{\varepsilon}^n\| \Rightarrow \\ \|\vec{x}^{n+1} - \vec{x}^n\| &= \|\mathfrak{D}_{\vec{f}}^{-1}(\vec{x}^n) \cdot \vec{f}(\vec{x}^n)\| \geq \|\mathfrak{D}_{\vec{f}}(\vec{x}^n)\|^{-1} \|\vec{f}(\vec{x}^n)\| = \\ &= \|\mathfrak{D}_{\vec{f}}(\vec{x}^n)\|^{-1} \|\vec{f}(\vec{x}^n) - \vec{f}(\vec{\xi})\| = \|\mathfrak{D}_{\vec{f}}(\vec{x}^n)\|^{-1} \|\mathfrak{D}_{\vec{f}}(\vec{\xi} + \tau\vec{\varepsilon}^n) \cdot \vec{\varepsilon}^n\| \geq \\ &\geq \|\mathfrak{D}_{\vec{f}}(\vec{x}^n)\|^{-1} \|\mathfrak{D}_{\vec{f}}^{-1}(\vec{x}^n + \tau\vec{\varepsilon}^n)\|^{-1} \|\vec{\varepsilon}^n\| \geq \mu^{-1} \|\vec{\varepsilon}^n\| \Rightarrow \boxed{\|\vec{\varepsilon}^n\| \leq \mu \|\vec{x}^{n+1} - \vec{x}^n\|} \end{aligned}$$

Пример П.6 (Метод Ньютона для примера П.5). Обозначим $\det \equiv \cos(x-0.6) \sin y + 6$

$$\mathfrak{D}_{\vec{f}} = \begin{pmatrix} \frac{\partial f}{\partial x} & \frac{\partial f}{\partial y} \\ \frac{\partial g}{\partial x} & \frac{\partial g}{\partial y} \end{pmatrix} = \begin{pmatrix} \cos(x-0.6) & -2 \\ 3 & \sin y \end{pmatrix} \Rightarrow \mathfrak{D}_{\vec{f}}^{-1} = \frac{1}{\det(x, y)} \begin{pmatrix} \sin y & 2 \\ -3 & \cos(x-0.6) \end{pmatrix}$$

$$\max_{\vec{x} \in [\vec{a}, \vec{b}]} \|\mathfrak{D}_{\vec{f}}(\vec{x})\| = \|\mathfrak{D}_{\vec{f}}(0, \frac{\pi}{2})\| = 4; \quad \max_{\vec{x} \in [\vec{a}, \vec{b}]} \|\mathfrak{D}_{\vec{f}}^{-1}(\vec{x})\| = \|\mathfrak{D}_{\vec{f}}^{-1}(0.6; \frac{3\pi}{2})\| = \frac{3+1}{6-1} = \frac{4}{5}$$

$$\Rightarrow \mu = \frac{16}{5} = 3.2 \Rightarrow \boxed{\|\vec{x}^{N+1} - \vec{x}^N\| < \frac{5}{16} \varepsilon}$$

$$\begin{aligned}
 \begin{pmatrix} x^0 \\ y^0 \end{pmatrix} &= \begin{pmatrix} 0.4 \\ -1.3 \end{pmatrix} \Rightarrow \begin{pmatrix} x^{n+1} \\ y^{n+1} \end{pmatrix} = \begin{pmatrix} x^n \\ y^n \end{pmatrix} - \mathfrak{D}_{\vec{f}}^{-1} \cdot \begin{pmatrix} f(x^n, y^n) \\ g(x^n, y^n) \end{pmatrix} = \\
 &= \begin{pmatrix} x^n \\ y^n \end{pmatrix} - \begin{pmatrix} \frac{\sin y^n (\sin(x^n - 0.6) - 2y^n - 1.6) + 2(3x^n - \cos y^n - 0.9)}{\cos(x^n - 0.6) \sin y^n + 6} \\ -3(\sin(x^n - 0.6) - 2y^n - 1.6) + \cos(x^n - 0.6)(3x^n - \cos y^n - 0.9) \\ \cos(x^n - 0.6) \sin y^n + 6 \end{pmatrix}.
 \end{aligned}$$

Результаты расчетов приведены в таблице:

n	x^{n+1}	y^{n+1}	$\ \vec{x}^{n+1} - \vec{x}^n\ $	$\ \mathfrak{D}_{\vec{f}}(\vec{x}^n)\ \ \mathfrak{D}_{\vec{f}}^{-1}(\vec{x}^n)\ $
0	0.5399	-0.8308	0.4692	3.1203
1	0.523	-0.839	0.0170	2.8401
2	0.523	-0.839	0.00001	2.8456

Для рассмотренного примера метод простой итерации оказался самым медленным, а быстрее всех сошелся к корню метод Ньютона.